

T. ORTIQOV

# SANOAT QURILMALARINING ELEKTROMEXANIK TIZIMLARI



621.3  
0-63

O'ZBEKISTON RESPUBLIKASI OLIY VA O'RTA  
MAXSUS TA'LIM VAZIRLIGI

T. J. ORTIQOV

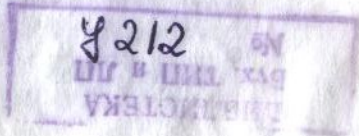
10

## SANOAT QURILMALARINING ELEKTROMEXANIK TIZIMLARI

Y 212 - 10 gonev.

*Oliy va o'rta maxsus ta'lim vazirligi  
tomonidan B-5211500 — elektrotekhnika  
va elektrotexnologiyalar fanidan bakalavrlar  
uchun o'quv qo'llanma sifatida tavsiya etilgan*

«TURON-IQBOL»  
TOSHKENT  
2005



E-53  
83-0

Taqrizchilar:

A.A. Azizov — texnika fanlari nomzodi, dotsent,  
A.T. Imomnazarov — texnika fanlari nomzodi, dotsent.

Mas'ul muharrir:

O. O. Xoshimov — texnika fanlari doktori, professor.

**T. J. Ortikov**

**Sanoat qurilmalarining elektromexanik tizimlari.**  
O'quv qo'llanma. T.: «Turon-Iqbol», 2005.— 64 bet.

Ushbu o'quv qo'llanmada yuk ko'tarish kranlari, passajir tashuvchi ko'targich mexanizmlarning asosiy sharoitda ishlayotgan ikki, uch erkin darajali elektromexanik tizimlarining o'tkinchi rejimlari bayon etilgan. Elastlik bog'lanishi bo'lgan va elastik bog'lanishi bo'lмаган ко'чма mexanizmlarni ishg'a tushirish va to'xtatishda yuknning tebranishini kamaytirish yo'llari ko'rsatilgan, elastik tizimlarning hisoblash sxemasini soddalashtirish usullari keltirilgan. Ekskavatorning bo'y sunuvchi rostlanuvchan tizimlarini sozlashni tanlash bayon etilgan.

O'zbekiston Respublikasi Oliy va o'rta maxsus ta'lif vazirligi tomonidan tasdiqlangan «Elektrotexnika, elektromexanika va elektro-tekhnologiya» yo'nalishi uchun o'quv rejasiga kiruvchi «Elektr yuritma asoslari», «Andozaviy sanoat mexanizmlarining elektr yuritmasi kurslarining asosiy bo'limiga kiruvchi dolzarb va murakkab mexanizmlarning dinamik holatlарini analitik ifodasini berishda va ularning ish rejimini tahlil qilishda shu yo'nalish talabalari uchun o'quv qo'llanma sifatida foydalanish mumkin.

**KIRISH**

Ushbu «Sanoat qurilmalarining elektromexanik tizimlari» kitobi muallifi To'lqin Jo'rayevich Ortikov, Abu Rayhon Beruniy nomli Toshkent Davlat texnika universitetining Energetika fakulteti qoshidagi «Elektr yuritma va sanoat qurilmalarini avtomatlashtirish» kafedrasida qariyb 30 yil talabalarga — mazkur kursga oid maxsus fanlardan ma'ruza, tajriba va amaliyot ishlarini olib borib, katta tajriba to'plagan. Mazkur «Umumsanoat qurilmalarining elektromexanik tizimlari» kitobi O'zbekiston Respublikasi Oliy va o'rta maxsus ta'lif vazirligi tomonidan tasdiqlangan «Elektrotexnika, elektromexanika va elektro-tekhnologiya» yo'nalishi uchun o'quv rejasiga kiruvchi «Elektr yuritma asoslari», «Andozaviy sanoat mexanizmlarini elektr yuritmasi» kurslarining asosiy bo'limiga kiruvchi dolzarb va murakkab mexanizmlar (yuk ko'tarish kranlari, passajir tashuvchi ko'targichlar va ekskavatorlar) dinamik holatlарini analitik ifodasini berishda va ularning ish rejimini tahlil qilishda shu yo'nalish talabalari uchun o'quv qo'llanmasi sifatida foydalanishga imkon beradi.

Muallif elektromexanik tizimda mavjud bo'lgan murakkab jarayonlarni o'zbek tilida aniq bayon etib, tahlil qila bilish imkoniyatiga ega bo'lgan, o'quv qo'llanma talabalar uchun ravon til, uslubiy tomonidan qulay bayon etilgan.

Bu kitob mustaqil Vatanimiz sharofati bilan yozilgan mazkur sohada o'zbek tilidagi birinchi kitob bo'lganligi uchun, uni o'zbek tilida o'quvchi talabaga maxsus fanlarni o'rganishda dasturi amal bo'lishiga imonim komildir.

№ 2402010000  
O — 2005  
M361(04) - 2005  
BAN  
TURON-IQBOL

© «Turon-Iqbol»  
nashriyoti, 2005-y.

## I BO‘LIM

### UMUM QO‘LLANILADIGAN YUK KO‘TARUVCHI MEXANIZMLARNING ELEKTROMEXANIKAVIY TIZIMLARI

#### 1. Umumiyl holat

Hozirgi zamonda elektromexanikaviy tizimlar tahlili yo‘nalishida olib borilayotgan ilmiy tadqiqotlar sanoat korxonalarida qo‘llaniladigan umum mexanizmlarning elektr yuritmalarini chuqur o‘rganishga va sintez qilishga imkon beradi. Bu esa tizimning elastik qismlarida eng katta yuklanishni, hamda qismlar harakatining berilgan trayektoriyalaridan og‘ishini aniqlashga, tizimning dinamik holatida yuritmaning parametrleri ta’sirini tahlil qilishga va tizimlar tebranishini kamaytirish yo‘llarini ko‘rsatishga imkon beradi. Kranlar va liftlar elektr yuritmalarining o‘tkinchi jarayonlariga yuklash qurilmasi va muvozanat hosil qiladigan yukning po‘lat arqonlarining qattiqligi; ekskavator mexanizmlarida vallarning qattiqligi, qanotining elastikliligi, cho‘mich va ilgaklarning tebranishiga katta ta’sir qiladi. Uzlusiz ishlaydigan transport mashinalarining ishlash tartibiga harakatlanayotgan yuklar, lentalar va temir arqon qurilmalarining tebranishi ancha ta’sir qiladi.

Ma‘lumki, erkinlik darajasiga ega bo‘lgan elastik elektromexanikaviy tizimni ifodalaydigan tenglamani keltirib chiqarish uchun Dalamber prinsipidan foydalaniladi. Bu dinamika masalasini statik masala sifatida ko‘rishga imkon beradi. Bunda tenglamalar soni erkinlik darajasi soniga teng bo‘ladi.

Odatda elektromexanikaviy tizimlarni sintez qilishda o‘tkinchi jarayon rejimida tizimning holatiga kattaroq ta’sir etuvchi, aylanadigan va ilgarilanma harakatlanuvchi elementlarning og‘irliliklari e’tiborga olinadi.

Kran mexanizmlarining elektr dvigatelning valiga keltiligan inersiya momentlari elektromexanikaviy tizimning konstruksiyasiga hamda uning og‘irlik nisbatlariga bog‘liq bo‘ladi.

Ko‘pchilik kranlarda harakatlanuvchi va buruvchi mexanizmlarning keltirilan inersiya momentlari elektr dvigatelning inersiya momentidan bir necha marta katta bo‘ladi; yuk ko‘taruvchi mexanizmlarda esa yukning keltiligan inersiya momenti elektr dvigatelning rotor inersiya momentidan ancha kichik bo‘ladi.

Elektromexanikaviy tizimning dinamikasi shu mexanizmlarda mavjud bo‘lgan elastik mexanik aloqalarga ko‘proq bog‘liqdir. Mexanizmlarning o‘zgarishiga yaxshi moyilligi ishchi organni yuritma bilan bog‘lovchi arqonlarning konstruktiv maqsadlarda vallar uzunligining oshirilishiga bog‘liqdir.

Amaliy hisoblashlarda quyidagilar e’tiborga olinadi: yukni yuqoriga ko‘taruvchi mexanizmlarda mustali dvigatellarning inersiya momenti va yukning inersiya momenti; harakatlanuvchi mexanizmlarda — mustali elektr dvigatelning inersiya momenti va kran yoki yukning aylanuvchi qismlarining inersiya momentlari. Mexanizmlarning qattiqligini e’tiborga olishda elastikliligi kattaroq bo‘lgan bo‘g‘inlarning; yukning yuqoriga ko‘taruvchi mexanizmlarda — arqonlarning qattiqligi; harakatlanuvchi mexanizmlar uchun kranlarning transemissiya vallariga e’tibor beriladi.

Umum qo‘llaniladigan qurilmalarda mexanizmlar tizimlari shartli ravishda past chastotali va yuqori chastotali mexanizmlarga bo‘linadi. Yuqori chastotali mexanizmlarda xususiy tebranishi yuritmaning ishga tushirish yoki tormozlanish vaqtidan bir necha marta kichik yarim davrga ega bo‘lgan tizimlar kiradi. Tizimning bu guruhi uchun xususiy tebranishlari chastotasi quyidagi teng deb olinadi:

$$\nu = \sqrt{\frac{C(J_1+J_2)}{J_1 \cdot J_2}} > 10^{-1} \text{ s}$$

Past chastotali tizimlarga tebranishining yarim davri yuritmaning to'la aylanib ketishi yoki tormozlanishi vaqtiga yaqinlashadigan tizimlar kiradi.

Agar yuritma mexanizm anchagini qattiqlikka ega bo'lsa, uning asosiy massasi tebranishining chastotasi katta qiymatga ega bo'ladi, demak, birinchi tebranishning birinchi to'lqin amplitudasi vaqtning juda kichik ulushida o'zining eng katta qiymatiga erishadi, bunda elektrodvigator momenti ishga tushirish vaqtiga, nisbatan sekin o'zgaradi va o'z qiymatini deyarli saqlab qoladi. Bu holda yuqori chastotali tizimlarda taxminan  $M_d = \text{const}$  deb olish mumkin. Tormozlashda tormoz hosil qiladigan moment ham nisbatan sekin o'zgaradi.

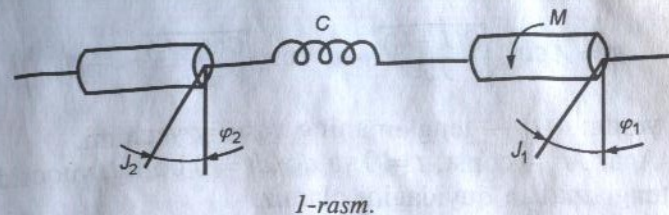
Elastik bo'g'in tomonidan qabul qilinadigan maksimal elastik moment ( $M_{e,\text{maks}}$ )ning hisoblash momenti ( $M_x$ )ga nisbati bilan aniqlanadigan kattalikka tizimning dinamiklik koefitsiyenti deyiladi:

$$K_{\text{din}} = \frac{M_{e,\text{maks}}}{M_x}.$$

Yuritma parametrlarining mexanizmlarning dinamikasiga ta'sirini aniqlash uchun, mexanizmlar turli darajada yulangan sharoitda o'tkinchi rejimlarini va boshqarish sxisining ishlash xususiyatlarini ko'rib chiqamiz. Quyida keltirilgan xulosalar tizimda so'nuvchi tebranishning, tebranish chastotasi va amplitudasini kamaytiruvchi faktorlarni e'tiborga olmagan holda chiqariladi. So'nuvchi tebranishga ta'sir etuvchi faktorlarga: havo qarshiligi, yuritmaning so'ndiruvchi (dempfer) ta'siri va boshqalar kiradi.

## 2. $M_c = 0$ bo'lganda kranning yuqori chastotali elektromexanikaviy o'tkinchi rejimlari

Kran ilgagida yuk bo'lmagan holda ko'tarish mexanizmi yuritmasining o'tkinchi jarayonlarini ko'rib chiqishda yukni ushlab turuvchi moslama (ilgak)ning og'irligini



I-rasm.

e'tiborga olmay,  $M_c = 0$  deb hisoblash mumkin. Bu holda tizim harakatining differensial tenglamasini quydagiicha yozamiz (I-rasm):

$$J_1 P^2 \dot{\varphi}_1 + (\varphi_1 + \varphi_2) C = M_d, \quad (1)$$

$$J_2 P^2 \dot{\varphi}_2 + (\varphi_1 + \varphi_2) C = 0, \quad (2)$$

bu yerda  $J_1$  va  $J_2$  — tizimning harakatga keladigan va harakatga keltiriladigan massasining inersiya momenti;  $C$  elastik bo'g'inning keltirilgan qattiqligi;  $\varphi_1$  va  $\varphi_2$  — mas-salarning burchak koordinatalari;  $M_d$  — elektr dvigatelni ishga tushirish va tormozlash davrida hosil bo'ladigan keltilgan moment.

(1) tenglamani  $J_2$  ga (2) tenglamani  $J_1$  ga ko'paytiramiz:

$$J_1 J_2 P^2 \varphi_1 + (\varphi_1 + \varphi_2) J_2 C = M_d J_2,$$

$$J_1 J_2 P^2 \varphi_2 + (\varphi_1 + \varphi_2) J_2 C = 0.$$

(2) tenglamani (1) tenglamadan ayiramiz:

$$J_1 J_2 (P^2 \varphi_1 - P^2 \varphi_2 + (J_1 + J_2) C (\varphi_1 - \varphi_2)) = M_d J_2.$$

Bu tenglamani hosilasi yuqori bo'lgan koefitsiyentga bo'lib va  $\varphi = \varphi_1 - \varphi_2$  almashtirish bajarib, quyidagi tenglamani olamiz:

$$P^2 \varphi + \frac{(J_1 + J_2) C}{J_1 J_2} \varphi = \frac{M_d}{J_1}.$$

Tenglamaning umumiy yechimini quydagiicha yozamiz:

$$\varphi = A \sin \sqrt{\frac{C(J_1+J_2)}{J_1 J_2}} t + B \cos \sqrt{\frac{C(J_1+J_2)}{J_1 J_2}} t + \varphi(t),$$

bu yerda:  $\varphi(t)$  — tenglamaning xususiy yechimi.

Agar  $M_d = \text{const}$ ,  $t = 0$  va  $d\varphi/dt = 0$  bo'lsa, yuqorida-  
gi tenglamadan quyidagini olamiz:

$$\frac{(J_1+J_2)C}{J_1 J_2} \varphi = \frac{M_d}{J_1},$$

bundan xususiy yechim

$$\varphi(t) = \frac{M_d J_2}{C(J_1+J_2)},$$

tenglamaning umumiy yechimi quyidagi ko'rinishni oladi:

$$\varphi = A \sin \nu t + B \cos \nu t + \frac{M_d J_2}{C(J_1+J_2)},$$

bu yerda

$\nu = \frac{CJ_1+J_2}{J_1 J_2}$  — elektromexanikaviy tizimning xususiy tebranishlar chastotasi.

Yuqorida keltirilgan boshlang'ich shartlardan foy-  
dalanib va  $\varphi = 0$  deb, quyidagini yozamiz:

$$0 = 0 + B + \frac{M_d J_2}{C(J_1+J_2)}$$

yoki

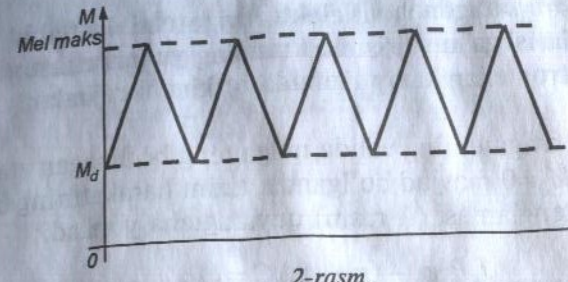
$$A = 0, \quad B = -\frac{M_d J_2}{C(J_1+J_2)},$$

u holda

$$\varphi = \frac{M_d J_2}{C(J_1+J_2)} (1 - \cos \nu t).$$

$\frac{J_2}{(J_1+J_2)} = q$  deb belgilab, elastik zveno deformatsiya-  
sining ifodasini olamiz:

$$\varphi = \frac{M_d q}{C} (1 - \cos \nu t).$$



2-rasm.

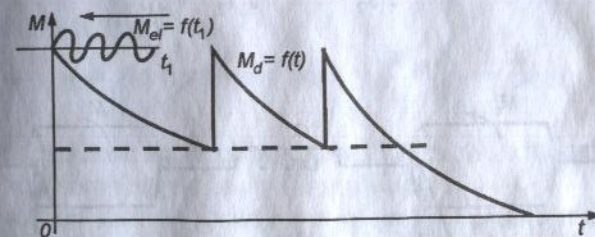
Elastik zvenoning maksimal deformatsiyasi:

$$\varphi_{\max} = \frac{2M_d J_2}{C(J_1+J_2)} = \frac{2M_d q}{C}$$

va elastik zveno qabul qiladigan maksimal moment:

$$M_{\text{el.maks}} = \varphi_{\max} C = M_d q. \quad (3)$$

Tizimning qattiqligi natijasida yuzaga kelgan moment  
o'zgarishining egri chiziqlari 2 va 3-rasmlarda keltirilgan.  
Unda  $M_{\text{el}} = f(t_1)$  bog'lanishi uchun  $t_1$  vaqt mashtabi  $t$   
vaqtga nisbatan bir necha marta kattalashtirilgan.



3-rasm.

**3.  $M_c \neq 0$  bo'lganda va elektrodvigatelni dastlabki pog'onada ishga tushirishda kranning yuqori chastotali elektromexanikaviy tizimida o'tkinchi rejimlar**

Elektr dvigatelning valida nolga teng bo'lмаган statik moment  $M_c \neq 0$  mavjud bo'lganda, tizim harakatining differensial tenglamasi (4-rasm) quyidagicha yoziladi:

$$J_1 P^2 \varphi_1 + (\varphi_1 - \varphi_2) C = M_d, \quad (4)$$

$$J_2 P^2 \varphi_2 + (\varphi_1 - \varphi_2) C = -M_c, \quad (5)$$

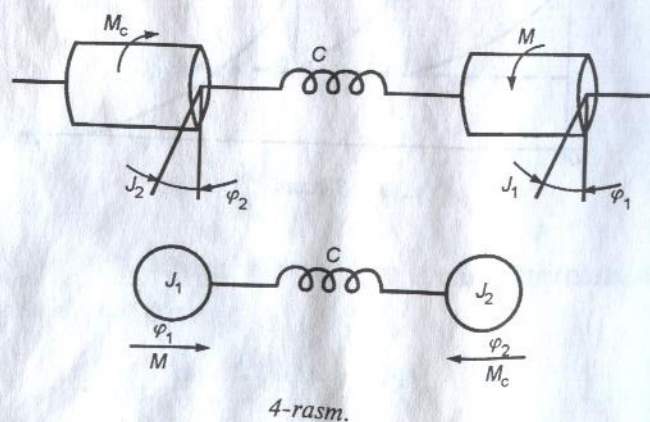
bu yerda  $M_c$  — yukning statik momenti.

(4) tenglamani  $J_2$  ga, (5) tenglamani  $J_1$  ga ko'paytirib (4) tenglamadan (5) tenglamani ayirib quyidagi tenglamani olamiz:

$$J_1 J_2 (P^2 \varphi_1 - P^2 \varphi_2) + (J_1 + J_2) C(\varphi_1 - \varphi_2) = M_d J_2 + M_c J_1$$

Elastik zvenoning deformatsiyasini  $\varphi = \varphi_1 - \varphi_2$  bilan belgilab va hosilasi yuqori bo'lgan koeffitsiyentga bo'lib, quyidagiga ega bo'lamiz:

$$P^2 \varphi + \frac{(J_1 + J_2) C}{J_1 J_2} \varphi = \frac{M_d J_2}{J_1 J_2} + \frac{M_c J_1}{J_1 J_2}. \quad (6)$$



10

(6) ifodadagi  $M_d$  o'rniga  $M_d = M_c + M_{\text{din}}$  ni qo'yib va tenglamaning o'ng tomonini o'zgartirib qayta yozamiz:

$$P^2 \varphi + \frac{(J_1 + J_2) C}{J_1 J_2} \varphi = \frac{(M_c + M_{\text{din}}) J_2}{J_1 J_2} + \frac{M_c J_1}{J_1 J_2}$$

yoki

$$P^2 \varphi + \frac{(J_1 + J_2) C}{J_1 J_2} \varphi = \frac{(J_1 + J_2) M_c}{J_1 J_2} + \frac{M_{\text{din}} J_2}{J_1 J_2}.$$

Bu tenglamaning umumiy yechimi quyidagicha yoziladi:

$$\varphi = A \sin \sqrt{\frac{C(J_1 + J_2)}{J_1 J_2}} t + B \cos \sqrt{\frac{C(J_1 + J_2)}{J_1 J_2}} t + \varphi(t).$$

$M_d \neq \text{const}$ ,  $t = 0$  va  $d\varphi/dt = 0$  bo'lganda yuqoridagi tenglamaning xususiy yechimi quyidagidan iboratdir:

$$J_1 + J_2 \frac{C(J_1 + J_2)}{J_1 J_2} \varphi = \frac{(J_1 + J_2) M_c}{J_1 J_2} + \frac{M_{\text{din}}}{J_1}$$

yoki

$$\varphi = \frac{M_c}{C} + \frac{M_{\text{din}}}{J_1} \frac{J_1 J_2}{C(J_1 + J_2)} = \frac{M_c}{C} + \frac{M_{\text{din}} J_2}{C(J_1 + J_2)}$$

va bu holda ham

$$\varphi = A \sin vt + B \cos vt + \frac{M_{\text{din}} J_2}{C(J_1 + J_2)} + \frac{M_c}{C}.$$

Integralash doimiylari  $A$  va  $B$  ning qiymatlari boshlang'ich shartlarga mos holda aniqlanadi.

Hozirgi zamon kuchli va magnitli kontrollerlarning sxemalarida taxminan hisoblangan statik momentga (5-rasmga qarang) mos keladigan qarshilikni ishga tushirish, ya'ni dastlabki pog'onasi ko'zda tutiladi. Bu pog'ona ulanganda elektr dvigatelning vali (harakatlantiruvchi massa  $J_1$ ) deformatsiya va kinematik zanjir elementlari oraliq bo'shlqlari mavjud bo'lganligi sababli, ma'lum burchakka buriladi. Qarshilikning keyingi pog'onasiga o'tish ma'lum vaqtidan so'ng bajariladi. Bu dastlabki pog'onaning

11

ulanishida yuzaga kelgan tizimning tebranishlarini so'nishiga olib keladi va bunda qarshilikning ikkinchi pog'onasiga o'tishida, tizimning elastik zvenosining deformatsiyasi taxminan  $\varphi = M_c/C$ , deformatsiyaning tezligi  $d\varphi/dt = 0$  deb hisoblash mumkin.

Elektr dvigatelning to'la aylanib ketishi ikkinchi pog'ona qarshiligin chiqarib tashlanganda boshlanadi, bunda ikkala tizimda harakat boshlanadi.

Bu shartlar uchun  $t = 0$  bo'lganda  $\varphi = M_c/C$ ,  $d\varphi/dt = 0$  bo'ladi va quyidagini olamiz:

$$A = 0, M_c/C = 0 + B + \frac{M_{\text{din}} J_2}{C(J_1 + J_2)} + \frac{M_c}{C}.$$

$$B = \frac{(M_d - M_c) J_2}{C(J_1 + J_2)}.$$

Elastik zveno  $\frac{J_2}{J_1 + J_2} = q$  bo'lganda deformatsiyasining tenglamasi:

$$\varphi = \frac{(M_d - M_c) q}{C} (1 - \cos t) + \frac{M_c}{C}.$$

Elastik zvenoga ta'sir etuvchi moment:

$$M_{\text{el}} = \varphi C = (M_d - M_c) q (1 - \cos t) + M_c.$$

Momentning maksimal qiymati:

$$M_{\text{el.maks}} = 2(M_d - M_c) q + M_c. \quad (7)$$

(7) tenglamani quyidagicha yozamiz:

$$M_{\text{el.maks}} = \frac{2(M_d - M_c) J_2}{(J_1 + J_2)} + M_c = 2\varepsilon_{\text{o'n}} J_2 + M_c, \quad (8)$$

bu yerda  $\varepsilon_{\text{o'n}} = (M_d - M_c)/(J_1 + J_2)$  — tezlanishning o'rtacha qiymati.

(3) va (8) ifodalarning taqqoslanishi, tezlanish  $\varepsilon$  ning kamayishini ko'rsatadi va buning natijasida  $M_{\text{el.maks}}$  qiymati ham kamayadi, bir vaqtida statik moment  $M_c$  ning bo'lishi elastik zvenoda hosil bo'ladigan moment qiymati

ma'lum miqdorga oshishiga olib keladi. Bunda  $M_{\text{el.maks}}$  ning o'zgarishiga harakatga keltiriladigan massa  $J_2$  ning inersiya momenti eng katta ta'sir ko'rsatadi. Bu inersiya momentini oshishi o'rtacha tezlanishning kamayishidan kat-taroq bo'ladi.

#### 4. $M_c \neq 0$ va yuritmani dastlabki pog'onasiz ishga tushirishda kranning yuqori chastotali elektromexanikaviy tizimidagi o'tkinchi rejimlar

Elektr dvigatelini pog'ona qarshilisiz ishga tushirilganda, u manbara ulanganda yetaklovchi massa  $J_1$ , harakatga keladi. Kinematik zanjir elementlarining deformatsiyasi yuklamaning statik  $M_c$  ga mos bo'lgan qiyomatga erishganda, yetaklanuvchi massa harakatga keladi. Massa harakatining boshlanishi paytida keltirilgan tizimning elastik zvenosining deformatsiyasi  $M_c/C$  ga teng, deformatsiyaning tezligi musbatdir.

Yetaklanuvchi massaning harakati boshlanmasdan olin tizim holatini ifodalovchi differential tenglama ushu ko'rinishda yoziladi:

$$J_1 P^2 \varphi_1 + C \varphi_1 = M_d,$$

$t = 0$  bo'lganda,  $M_d = \text{const}$  bo'lgan hol uchun  $P\varphi_1 = 0$  va tenglamaning umumiy yechimi:

$$\varphi_1 = A_1 \sin \sqrt{\frac{C}{J_1}} t + B_1 \cos \sqrt{\frac{C}{J_1}} t + \frac{M_d}{V}.$$

$t = 0$  bo'lganda boshlang'ich shartlar:  $\varphi_1 = 0$ ,  $P\varphi = 0$ . Unda:

$$\text{va} \quad A_1 = 0, \quad B_1 = -\frac{M_d}{C}$$

$$\varphi_1 = \frac{M_d}{C} \left( 1 - \cos \sqrt{\frac{C}{J_1}} t \right).$$

Yetaklovchi massaning tezligi:

$$P\varphi_1 = \frac{M_d}{C} \sqrt{\frac{C}{J_1}} t \sin \sqrt{\frac{C}{J_1}} t.$$

Birinchi bosqich oxirida tizimning elastik kuchlari momenti tashqi qarshiliklar momentiga teng bo'ladi:  $\varphi_1 C = M_c$  yoki

$$M_c = M_d \left( 1 - \cos \sqrt{\frac{C}{J_1}} t_1 \right), \quad (10)$$

bu yerda  $t_1$  — tizimi harakati birinchi bosqichining vaqtiga, (10) dan:

$$t_1 = \sqrt{\frac{J_1}{C}} \arccos \frac{M_d - M_c}{M_v}.$$

$t_1$  vaqtning hosila tenglamasini (9) ga qo'yib, topamiz:

$$(P\varphi_1)_1 = \frac{M_d}{C} \sqrt{\frac{C}{J_1}} \sin \left( \arccos \frac{M_d - M_c}{M_v} \right). \quad (11)$$

(11) ifodani o'zgartirib quyidagini olamiz:

$$(P\varphi_1)_1 = \frac{M_d}{C} \sqrt{\frac{C}{J_1}} \sqrt{1 - \cos^2 \arccos \frac{M_d - M_c}{M_v}}$$

yoki

$$(P\varphi_1)_1 = \sqrt{\frac{M_c(2M_d - M_c)}{J_1 C}}.$$

Yetaklovchi massa  $J_2$  harakati boshlanishi bilan harakatning ikkinchi bosqichi boshlanadi. Harakat tenglamasi va ularning umumiy yechimlari ishga tushurishning oldingi bosqichiga o'xshashdir. Bosqichning boshida  $t = 0$  deb olib, quyidagilarga ega bo'lamiz:

$$\varphi = \frac{M_c}{C},$$

$$P\varphi = (P\varphi_1)_1 = \sqrt{\frac{M_c(2M_d - M_c)}{J_1 C}}.$$

Tenglama uchun integrallash doimiylarining yangi qiyamatlari:

$$\varphi = A \sin vt + B \cos vt + \frac{(M_d + M_c)J_2}{C(J_1 + J_2)} + \frac{M_c}{C}, \quad (12)$$

$$A = \frac{1}{C} = \sqrt{\frac{M_c(2M_d - M_c)J_2}{(J_1 + J_2)}},$$

$$B = \frac{(2M_d - M_c)J_2}{C + (J_1 + J_2)}.$$

Integrallash doimiylarini (10) ifodaga qo'yib, ushbuni olamiz:

$$\varphi = \frac{1}{C} \sqrt{M_c(2M_d - M_c)q} \sin vt - \frac{(M_d - M_c)q}{C} \cos vt + \frac{(M_d - M_c)q}{C} + \frac{M_c}{C}.$$

Elastik zvenoning qabul qilish momenti:

$$M_{el} = \sqrt{M_c(2M_d - M_c)q} \sin vt - (M_d - M_c)q \cos vt + (M_d - M_c)q + M_c.$$

Momentning maksimal qiymati:

$$M_{el.maks} = (M_g - M_c)q \sqrt{q[M_c(2M_d - M_c) + (M_d - M_c)^2 qq] + M_c}. \quad (13)$$

Tenglananing tahlili shuni ko'rsatadiki, elektr yuritmaning tezlanishi va statik yuklanishning oshishidan hamda ildiz ostidagi ifodani hisobga olganda, maksimal elastik moment  $M_{el.maks}$  qiymati keskin o'zgarar ekan.

## 5. $M_c = 0$ bo'lganda kranning past chastotali elektromexanikaviy tiziminining o'tkinchi jarayonlari

Past chastotali tizimlarga aravacha yoki kranni harakatga keltiruvchi mexanizmlarni hamda ko'pchilik kranlarning aylantiruvchi mexanizmlarini kiritish mumkin. Past chastotali tizimlarni ko'rib chiqishda tizimning tebranish davri yuritmaning ishga tushirish yoki tormozlash vaqt bilan o'lchamlidir.

Elektr dvigatelni ishga tushirish vaqtida uning momentini o'zgarmas deb bo'lmaydi, burchak tezligining o'zgarishi bilan elektr dvigatel momentining o'zgarishini ham hisobga olish kerak.

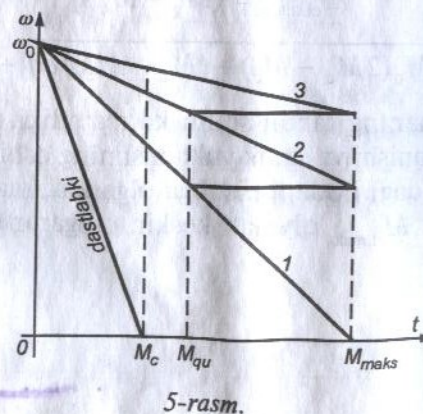
Elektrodvigatelni ishga tushirish vaqtida uning momenti maksimal qiymatdan ( $M_{maks}$ ), qayta ulash momenti  $M_u$  gacha o'zgaradi (5-rasm), tezlik esa uzlusiz oshib boradi.

Tezlik o'sib borishining dastlabki paytida harakatga keltiruvchi moment qarshilikning birinchi (I) pog'onasida:

$$M = M_{maks} \left( 1 - \frac{1}{\omega_0} \frac{d\phi_1}{dt} \right).$$

Elastik aloqalarni hisobga olib, tizimning harakatlanish tenglamasi quyidagi ko'rinishga ega bo'ladi:

$$J_1 \frac{d^2\phi_2}{dt^2} + (\phi_1 - \phi_2)C = M_{maks} \left( 1 - \frac{1}{\omega_0} \frac{d\phi_1}{dt} \right), \quad (14)$$



16

$$J_1 \frac{d^2\phi_2}{dt^2} + (\phi_1 - \phi_2)C = 0.$$

Tenglamani operator ko'rinishida yozamiz:

$$J_1 P^2 \phi_1 + (\phi_1 - \phi_2)C = M_{maks} \left( 1 - \frac{1}{\omega_0} \frac{d\phi_1}{dt} \right),$$

$$J_2 P^2 \phi_2 - (\phi_1 - \phi_2)C = 0. \quad (15)$$

(14) tenglamadan  $\phi_2$  ni, (15) tenglamadan esa  $\phi_1$  ni yo'qotamiz, buning uchun (15) dagi  $\phi_1$  ni boshqalari orqali ifodalaymiz:

$$J_2 P^2 \phi_2 - \phi_1 C + \phi_2 C = 0,$$

$$\text{bundan } \phi_1 = \phi_2 + \frac{J_2}{C} P^2 \phi_2.$$

Buning birinchi hosilasi:

$$P\phi_1 = P\phi_2 + \frac{J_2}{C} P^3 \phi_2,$$

ikkinci hosilasi:

$$P^2\phi_1 = P^2\phi_2 + \frac{J_2}{C} P^4 \phi_2.$$

$\phi_1$  ning qiymatini va hosilalari qiymatini (14) tenglamaga qo'yamiz, unda

$$J_1 \left( P^2\phi_2 + \frac{J_2}{C} P^4 \phi_2 \right) + \phi_2 C + J_2 P^2 \phi_2 - \phi_2 C =$$

$$= M_{maks} - \frac{M_{maks}}{\omega_0} P\phi_2 - \frac{M_{maks} J_2}{C \omega_0} P^3 \phi_2.$$

Ifodani ochamiz:

$$\begin{aligned} J_1 P^2 \phi_2 + \frac{J_1 J_2}{C} P^4 \phi_2 + J_2 P^2 \phi_2 + \frac{M_{maks}}{\omega_0} P\phi_2 + \\ + \frac{M_{maks} J_2}{C \omega_0} P^3 \phi_2 = M_{maks}. \end{aligned}$$

Yuqori tartibli hosiladagi koefitsiyentga bo'lib, quydagini olamiz:

2 — T. J. Ortigov

БИБЛИОТЕКА  
Бух. тип и ЛП  
№ У212

$$\begin{aligned} P^4 \varphi_2 + \frac{M_{\max} J_2}{\omega_0 C} \cdot \frac{C}{J_1 J_2} P^3 \varphi_2 + \frac{(J_1+J_2)C}{J_1 J_2} P^2 \varphi_2 + \\ + \frac{M_{\max} C}{\omega_0 J_1 J_2} P \varphi_2 = \frac{C}{J_1 J_2} M_{\max}. \end{aligned} \quad (16)$$

Xuddi shunday o'zgartirishlarni  $\varphi_1$  uchun ham bajaraziz, bunda:

$$\begin{aligned} P^4 \varphi_1 + \frac{M_{\max}}{\omega_0 J_1} P^3 \varphi_1 + \frac{(J_1+J_2)C}{J_1 J_2} P^2 \varphi_1 + \\ + \frac{M_{\max} C}{\omega_0 J_1 J_2} P \varphi_1 = \frac{C}{J_1 J_2} M_{\max}. \end{aligned} \quad (17)$$

Elastik zveno deformatsiyasini o'zgarish xarakterini aniqlash uchun  $\varphi_1 - \varphi_2 = \varphi$  bilan almashtiramiz, buning uchun (17) tenglamadan (16) tenglamani ayiramiz:

$$P^4 \varphi + \frac{M_{\max}}{\omega_0 J_1} P^3 \varphi + \frac{(J_1+J_2)C}{J_1 J_2} P^2 \varphi_2 + \frac{M_{\max} C}{\omega_0 J_1 J_2} P \varphi = 0.$$

Bu tenglamaning yechilishi xarakteristik tenglama il-dizini aniqlash bilan bog'liqdir:

$$x^4 + \frac{M_{\max}}{\omega_0 J_1} x^3 + \frac{(J_1+J_2)C}{J_1 J_2} x^2 + \frac{M_{\max} C}{\omega_0 J_1 J_2} x = 0,$$

bulardan biri  $x_0 = 0$

Quyidagicha belgilashlar kiritamiz:

$$\begin{aligned} \frac{(J_1+J_2)C}{3J_1 J_2} - \frac{M_{\max}^2}{9\omega_0^2 J_1^2} = a, \\ \frac{M_{\max}}{3\omega_0 J_1} \left[ \frac{M_{\max}^2}{9\omega_0^2 J_1^2} + \frac{(2J_1-J_2)C}{2J_1 J_2} \right] = b. \end{aligned}$$

Haqiqiy tizimlar uchun  $b^2 + a^3 > 0$  ga egamiz, u holda

$$\left. \begin{aligned} x = -2z - \frac{M_{\max}}{\omega_0 J_1}, \\ x_1 = z + iV, \quad x_2 = z - iV \end{aligned} \right\} \quad (18)$$

bu yerda:

$$z = -\frac{M_{\max}}{3\omega_0 J_1} - \frac{1}{2} \left[ \sqrt[3]{-b + \sqrt{b^2 + a^3}} - \sqrt[3]{-b - \sqrt{b^2 + a^3}} \right], \quad (19)$$

$$V = \frac{\sqrt{3}}{2} \left[ \sqrt[3]{-b + \sqrt{b^2 + a^3}} + \sqrt[3]{b + \sqrt{b^2 + a^3}} \right]. \quad (20)$$

Bu holda tenglamaning yechimi quyidagi ko'rinishga ega bo'ladi:

$$\varphi = A + Be^{xt} + Ce^{xt} \sin vt + De^{xt} \cos vt. \quad (21)$$

Ikkala massa harakatining boshlanishi paytida dastlabki shartlar quyidagicha bo'ladi:  $t = 0$  da  $\varphi = 0$  va  $d\varphi/dt = 0$ . Bu shartlarni (14) va (15) tenglamalarga qo'yib, quyidagini olamiz:

$$P^2 \varphi = \frac{M_{\max}}{J_o}.$$

$z$  va  $x$  formulalariga kiradigan kattaliklarning haqiqiy qiymatlari manfiy ishoraga ega bo'ladi.  $t$  vaqtning kattalashuv bilan (21)da  $A$  dan tashqari hamma harflari nolga intiladi. Bundan kelib chiqadiki,  $t \rightarrow \infty$  bo'lganda  $A = 0$  bo'ladi.

Bu holda:

$$C = \frac{M_{\max}(z-x)}{J_1 V [(z-x)^2 + V^2]},$$

$$B = \frac{M_{\max}}{J_1 V [(z-x)^2 + V^2]}, \quad D = -\frac{M_{\max}}{J_1 V [(z-x)^2 + V^2]}$$

va elastik deformatsiyaning tenglamasi quyidagi ko'rinishga ega bo'ladi:

$$\varphi = \frac{M_{\max}}{J_1 [(z-x)^2 + V^2]} \left[ e^{xt} + e^{vt} \left( \frac{z-x}{v} \sin vt - \cos vt \right) \right].$$

Elastik zveno qabul qiladigan moment:

$$M_{el} = \varphi C = \frac{M_{\max} C}{J_1 [(z-x)^2 + V^2]} \left[ e^{xt} + e^{vt} \left( \frac{z-x}{v} \sin vt - \cos vt \right) \right].$$

$M_{el}$  elastik momentning maksimal qiymati tebranishning birinchi yarim davrida mavjud bo‘ladi.  $M_{el.maks}$  ning mayjudlik sharti quyidagi hadning birinchi maksimal qiymati bilan aniqlanadi:

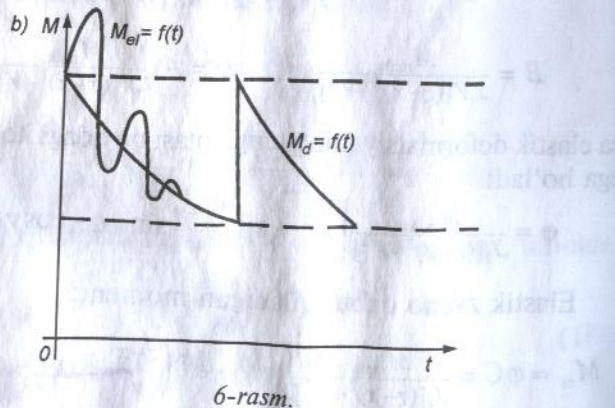
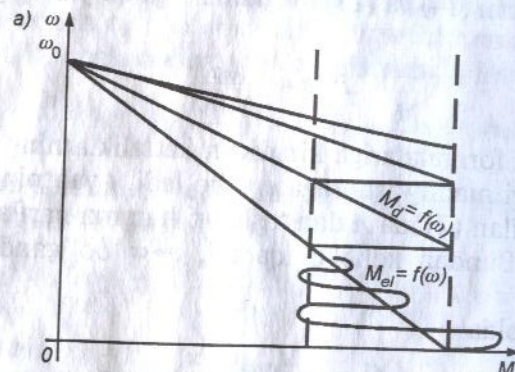
$$\frac{z-x}{v} \sin vt - \cos vt .$$

Hosilasini nolga tenglashtirib, quyidagini olamiz:

$$\frac{d}{dt} \left[ \frac{z-x}{v} \sin vt - \cos vt \right] = (z-x) \cos vt + \sin vt = 0$$

yoki

$$(z-x) + vt gvt = 0.$$



6-rasm.

$M_{el.maks}$  ning ekstremal qiymatiga mos keladigan vaqt:

$$t_{maks} = \frac{1}{V} \operatorname{arctg} \frac{x-z}{v} .$$

Funksiyaning maksimumi (plus ishorali) quyidagicha:

$$+ \frac{1}{V} \sqrt{(z-x)^2 + v^2} .$$

Momentning maksimal qiymati:

$$M_{el.maks} = \frac{M_{maks} C}{J_1 [(z-x)^2 + V^2]} \left[ e^{x t_{maks}} + e^{z t_{maks}} - \sqrt{\frac{(z-x)^2 + v^2}{v}} \right].$$

Elektrosvigatelni ishga tushirishda elastik zvenoning qattiqligini va past chastotali tizimda tebranishning sustlanishini e’tiborga olgan holda  $M_c = 0$  uchun elektrosvigatel momenti va elastik zveno momentining tezlik va vaqtga bog‘liq bo‘lgan grafiklari 6-rasmida keltirilgan.

#### 6. $M_c \neq 0$ kranning past chastotali elektromexanikaviy tizimining o’tkinchi rejimi

Elektrosvigatel momenti tezlik funksiyasi bo‘yicha o‘zgarganda

$$M_d = M_{maks} \left( 1 - \frac{1}{\omega_0} P \varphi_1 \right)$$

harakat tenglamasi quyidagi ko‘rinishga ega bo‘ladi (6-a rasmga qarang):

$$J_1 P^2 \varphi_1 + (\varphi_1 - \varphi_2) C = M_{maks} \left( 1 - \frac{1}{\omega_0} P \varphi_1 \right). \quad (22)$$

Ushbu tenglamadan  $\varphi_1$  ni topamiz:

$$\varphi_1 = \varphi_2 + \frac{J_2}{C} P^2 \varphi_2 + \frac{M_c}{C}$$

Uning hosilasini aniqlaymiz:

$$P\varphi_1 = \varphi_2 + \frac{J_2}{C} P^3 \varphi_2,$$

$$P^2 \varphi_1 = P^2 \varphi_2 + \frac{J_2}{C} P^4 \varphi_2.$$

Topilganlarni (22) tenglamaga qo'yamiz:

$$\begin{aligned} J_1(P^2 \varphi_1 + \frac{J_2}{C} P^4 \varphi_1) + \varphi_2 C + \frac{J_2}{C} CP^2 \varphi_2 + M_c - \varphi_2 C - \\ - M_{\max} + M_{\max} \frac{1}{\omega_0} P \varphi_2 + M_{\max} \frac{1}{\omega_0} \frac{J_2}{C} P^3 \varphi_2 = 0. \end{aligned}$$

Olingan ifodani o'zgartirib, quyidagicha yozamiz:

$$\begin{aligned} \frac{J_1 J_2}{C} P^4 \varphi_2 + \frac{M_{\max}}{\omega_0} \frac{J_2}{C} P^3 \varphi_2 + (J_1 + J_2) P^2 \varphi_2 + \\ + \frac{M_{\max}}{\omega_0} P \varphi_2 + M_c - M_{\max} = 0. \end{aligned}$$

Tenglamani yuqori hosilaning koeffitsiyentiga bo'lamiz:

$$\begin{aligned} P^4 \varphi_2 + \frac{M_{\max}}{\omega_0 J_1} P^3 \varphi_2 + \frac{(J_1 + J_2) C}{J_1 J_2} P^2 \varphi_2 + \\ + \frac{M_{\max} C}{\omega_0 J_1 J_2} P \varphi_2 = \frac{(M_{\max} - M_c) C}{J_1 J_2}. \end{aligned}$$

$\varphi_1$  uchun ham xuddi shunday o'zgartirishlar qilib quyidagini olamiz:

$$\begin{aligned} P^4 \varphi_1 + \frac{M_{\max}}{\omega_0 J_1} P^3 \varphi_1 + \frac{(J_1 + J_2) C}{J_1 J_2} P^2 \varphi_1 + \\ + \frac{M_{\max} C}{\omega_0 J_1 J_2} P \varphi_1 = \frac{(M_{\max} - M_c) C}{J_1 J_2}. \end{aligned}$$

$\varphi_2 - \varphi_1 = \varphi$  almashtirish bajarib, hadlarni ayirib, quyidagini olamiz:

$$P^4 \varphi + \frac{M_{\max}}{\omega_0 J_1} P^3 \varphi + \frac{(J_1 + J_2) C}{J_1 J_2} P^2 \varphi + \frac{M_{\max} C}{\omega_0 J_1 J_2} P \varphi = 0.$$

$M_c = 0$  bo'lgan holga mos kelgan tenglama olindi. Bu tenglamaning yechimi quyidagi ko'rinishda bo'ladi:

$$\varphi = A + Be^{xt} + Ce^{zt} \sin Vt + De^{zt} \cos Vt, \quad (24)$$

bu yerda  $x, z$  va  $V$  lar bizga ma'lum bo'lgan (18), (19), (20) ifodalar orqali topiladi.

Dastlabki ishga tushirish pog'ona qarshiligi mavjud bo'lsa, boshlang'ich shartlar quyidagicha bo'ladi:  $t = 0$  bo'lganda  $\varphi = M_c/C$ ,  $P\varphi = 0$ . Bu shartni oldingi (22), (23) tenglamalarga qo'yib,  $t = 0$  bo'lganda quyidagiga ega bo'lamiz:

$$P^2 \varphi_1 - P^2 \varphi_2 = \frac{M_{\max} - M_c}{J_1},$$

bundan:

$$A = \frac{M_c}{C}; \quad B = \frac{M_{\max} - M_c}{J_1[(z-x)^2 + V^2]},$$

$$C = \frac{(M_{\max} - M_c)(z-x)}{J_1 V [(z-x)^2 + V^2]}; \quad D = -\frac{(M_{\max} - M_c)}{J_1 [(z-x)^2 + V^2]}.$$

Yuqorida olingan koeffitsiyentlarning qiymatlarini elastik deformatsiya (24) uchun olingan ifodaga qo'yib, quyidagini olamiz:

$$\varphi = \frac{(M_{\max} - M_c)}{J_1[(z-x)^2 + V^2]} \left[ e^{xt} + e^{zt} \left( \frac{z-x}{V} \right) \sin Vt - \cos Vt \right] + \frac{M_c}{C}.$$

Elastik zvenoning momenti:

$$M_{el} = \varphi C = \frac{(M_{\max} - M_c) C}{J_1[(z-x)^2 + V^2]} \left[ e^{xt} + e^{zt} \left( \frac{z-x}{V} \right) \sin Vt - \cos Vt \right] + M_c.$$

Momentning maksimal qiymati:

$$M_{el.maks} = \frac{(M_{\max} - M_c) C}{J_1[(z-x)^2 + V^2]} \left[ e^{xt} + e^{zt} \sqrt{\frac{(z-x)^2 + V^2}{V}} \right] + M_c,$$

bu yerda:  $t_M = \frac{1}{V} \operatorname{arctg} \frac{x-z}{V}$ .

Dastlabki ishga tushirish pog'ona qarshiligi mavjud bo'lmasa, tizim harakatining tezlanishi ikki bosqichga bo'linadi: yetaklovchi massa harakatining boshidan statik

momentga mos bo'lgan elastik zvenoning deformatsiya-sigacha hamda tizim harakatining boshlanishidan dinamik momentning ta'siri tamom bo'lguncha.

Birinchi bosqichda yetaklovchi massa harakatining tenglamasi quyidagicha yozilishi mumkin:

$$J_1 P^2 \varphi_1 + \varphi_1 C = M_{\max} \left( 1 - \frac{1}{\omega_0} P \varphi_1 \right). \quad (25)$$

(25) tenglamaning umumiy yechimi:

$$\varphi_1 = A e^{yt} \sin qt + B e^{yt} \cos qt + \frac{M_{\max}}{C}, \quad (26)$$

bu yerda:

$$y = \frac{M_{\max}}{2\omega_0 J_1}; \quad q = \sqrt{\frac{C}{J_1} - \frac{M_{\max}^2}{4\omega_0^2 J_1^2}}.$$

Bu hol uchun boshlang'ich shartlar quyidagicha bo'ladi:  $t = 0$  bo'lganda  $\varphi_1 = 0$ ,  $P\varphi_1 = 0$ . Shartlarni (26) tenglamaning umumiy yechimiga qo'yamiz, unda

$$\varphi_1 = \frac{M_{\max} Y}{Cq} e^{yt} \sin qt + \frac{M_{\max}}{C} (1 - e^{yt} \cos qt). \quad (27)$$

$\varphi_1 = M/C$  tengligiga erishganda, ikkinchi bosqichning ta'siri boshlanadi.  $\varphi_1$  ning qiymatini qo'yib, quyidagini olamiz:

$$\frac{M_{\max} - M_c}{M_{\max}} = e^{yt_0} \left( \cos qt_0 - \frac{Y}{q} \sin qt_0 \right),$$

bu yerda:  $t_0$  — grafik usulda yoki tanlash yo'li bilan aniqlanadigan ikkinchi bosqichning boshlanish vaqt.

Ikkinci bosqich boshlanishida elastik zveno deformatsiyasining tezligini topamiz. Buning uchun (27) ifodaning hosilasini olib, yetaklanuvchi massa  $J_2$  harakatining boshlang'ich vaqtida yetaklovchi massa  $J_1$  harakati tezligini aniqlaymiz:

$$\omega = (P\varphi_1)t_0 = \frac{M_{\max}(Y^2 + q^2)}{Cq} e^{yt_0} \sin qt_0.$$

Bosqichning boshlanishidagi ikkinchi hosilasi:

$$\varepsilon = (P^2 \varphi_1)t_0 = \frac{M_{\max}}{Cq} (Y^2 + q^2) e^{yt_0} \left( \cos qt_0 + \frac{Y}{q} \sin qt_0 \right).$$

Tenglamaning umumiy yechimi quyidagicha bo'ladi:

$$\varphi = A + Be^{vt} + Ce^{vt} \sin vt + De^{vt} \cos vt. \quad (28)$$

Vaqt hisobini ikkinchi bosqichning boshlanishidan olin-ganda boshlang'ich shartlar:  $t = 0$  bo'lganda  $\varphi = M/C$ ;  $P\varphi = \omega$ ;  $P^2\varphi = \varepsilon$ .

$t \rightarrow \infty$  da  $\varphi = M/C$  va  $A = M/C$ ,  $B = -\Phi$  ni e'tiborga olib, boshlang'ich shartlarni (28) tenglamaga qo'yib, elastik zveno deformatsiyasi uchun quyidagi ifodaga ega bo'lamiz:

$$\varphi = \frac{\varepsilon - 2\omega z}{(x-z)^2 + V} [e^{vt} - e^{vt} \cos vt] + \\ + \frac{\omega(x^2 - z^2 + v^2) + \varepsilon(z-x)}{V[(x-z)^2 + V^2]} e^{vt} \sin vt + \frac{M_c}{C}.$$

Elastik zvenoga ta'sir qiluvchi moment:

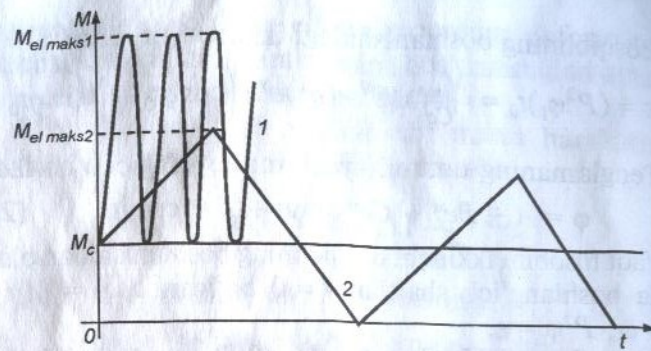
$$M_{el} = \varphi C = \frac{(\varepsilon - 2\omega z)C}{(x-z)^2 + V} [e^{vt} - e^{vt} \cos vt] + \\ + \frac{[\omega(x^2 - z^2 + v^2) + \varepsilon(z-x)]C}{V[(x-z)^2 + V^2]} e^{vt} \sin vt + M_c.$$

Elastik momentning maksimal qiymati

$$M_{el,max} = \frac{C}{(x-z)^2 + V} \left[ (\varepsilon - 2\omega z)e^{vt max} + e^{vt max} \times \right. \\ \left. \times \sqrt{\frac{\varepsilon^2 - 4\omega^2 z^2 + [\omega(x^2 - z^2 + v^2) + \varepsilon(z-x)]^2}{z^2 + V^2}} \right] + M_c,$$

bunda  $M_{el,max}$  momentga mos keluvchi vaqt quyidagicha aniqlanadi:

$$t_{max} = \frac{1}{V} \operatorname{arctg} \frac{(\varepsilon - 2\omega z)z - [\omega(x^2 - z^2 + v^2) + \varepsilon(z-x)]V}{(\varepsilon - 2\omega z)V^2 + [\omega(x^2 - z^2 + v^2) + \varepsilon(z-x)]z}.$$



7-rasm.

Momentning maksimal qiymatini aniqlash uchun trigonometrik funksiya arctg ning oldingi ikkita musbat qiymatining kattasidan foydalaniladi.

7-rasmda elektrosvigatel momenti o'zgarishining ikkita holati:

1.  $M = \text{const}$ ;

2.  $M = M_{\text{maks}}$  uchun  $M = M_{\text{maks}} \left( 1 - \frac{1}{\omega_0} \cdot \frac{d\phi_1}{dt} \right)$  elastik zveno momenti o'zgarishi ko'rsatilgan.

## 7. Kran mexanizmlarining elektromexanikaviy tizimlari da o'tkinchi rejimlarni tahlil qilish

Kran mexanizmlarining elektromexanikaviy tizimlarning turli ish rejimlarida elastik zvenolari qabul qiladigan deformatsiya va momentlar uchun yuqorida olingan munosabatlar o'tkinchi rejimlarda tizim qay ahvolda bo'lishiga tizim parametrlari ta'sirini aniqlashga imkon beradi.

Elektromexanikaviy tizimning xususiy tebranish chastotasi elastik zvenoning qattiqligi  $C$  pasayishi va keltiruvchi  $J_2$  va keltiriluvchi massalari  $J_1$  ning inersiya momentlarining kattalashuvi bilan kamayadi.

Tizimning keltirilgan qattiqligi va elektrosvigatelning inersiya momentining kattalashuvi bilan elastik zveno deformatsiyasi kamayadi. Elektrosvigatelning dinamik mo-

mentini va kelishiluvchi massa  $J_2$  ning inersiya momentini ortishi bilan elastik zvenoning deformatsiyasi kattalashadi.

Elektrosvigatelning rotori zanjiriga qo'shimcha qarshilikning kiritilishi tizim tebranishining chastotasini va elastik zveno deformatsiyasi qiymatini pasaytiradi.

Dastlabki ishga tushirish pog'onasi mavjud bo'lsa, kuchli uzatish elementlarining yuklanishi 40 % ga kamayadi.

Dinamikaviy yuklar yuklanish hosil qilgan statik momentni anchagina kamaytiradi. Tizimning yetaklanuvchi massasining inersiya momenti  $J_2$  ning kattalashuvi tizim tezlanishining kamayishiga olib keladi. Mexanizmning elektr yuritmasini ishga tushirish uchun hisoblangan dastlabki qarshilik pog'onasi bo'lgan va dastlabki qarshilik pog'onasi bo'limgan hollarda, dinamik koeffitsiyentlarning chegaraviy o'zgarish qiymatlari quyidagi jadvalda keltirilgan.

Kran mexanizmlari	Dinamik koeffitsiyentning o'zgarish chegarasi	
	Ishga tushirishda dastlabki qarshilik pog'onasi bor	Ishga tushirishda dastlabki qarshilik pog'onasi yo'q
Ko'tarish (umum qo'llaniladigan kranlar uchun)	1,05	1,25
Aravachani harakatlantirish	2,15	3,0
Kranni harakatlantirish	2,35	3,35
Kranni aylantirish	2,8	4,25
Kran o'qi uzunligining o'zgarishi	1,1	2,0

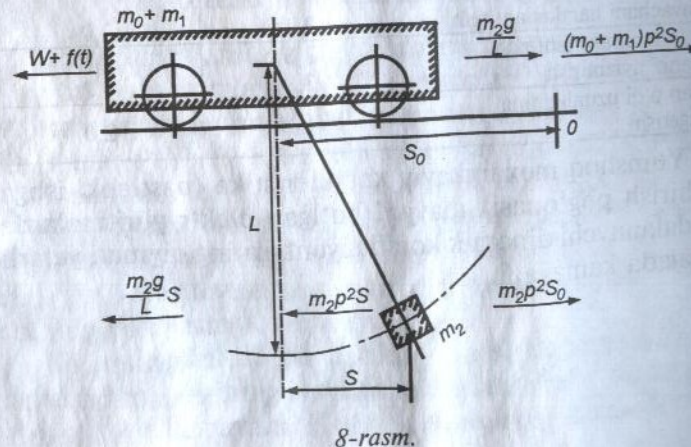
Yumshoq mexanikaviy xarakteristika (dastlabki ishga tushirish pog'onasi) mavjud bo'lgan elektr yuritmalarda foydalanuvchi dinamik koeffitsiyentlarning qiymati yetarli darajada kamayadi.

## 8. Kranlarni gorizontal yo'nalishda harakatlantiruvchi mexanizmlarni ishga tushirish va to'xtatishda yuklarning tebranishi

Ko'priksimon kran, echkisimon yoki portal yuklagich-larning aravachasi yoki kranning o'zi harakatlanayotganda yukning gorizontal harakatlanish holatini ko'rib chiqamiz. Qurilmaning umumlashgan sxemasini ikki massali deb qarash mumkin, birinchisini to'g'ri chiziq bo'yicha harakatlanadigan, ikkinchisini esa birinchisi bilan cho'zilmaydigan ip orqali bog'langan va tebranma harakat qiladigan ikkita massa ko'rinishida tasvirlash mumkin (8-rasm).

$m_0$ ,  $m_1$ ,  $m_2$  lar bilan mos holda kranning siljish mexanizmining yuritmasi va yukning keltirilgan massalarini ifodalaymiz;  $L$  — yukning ko'tarilgan holatida tortuvchi aranonning uzunligi;  $S$  — yuk tebranishining amplitudasi;  $S_0$  — qo'zg'almas koordinata boshidan  $t$  vaqtida aravacha yoki krangacha bo'lgan masofa;  $t$  — vaqt;  $g$  — og'irlik kuchlari tezlanishi.

Kran yoki aravachaning tezligi oshib borganida yuk harakatlanishining differensial tenglamasi quyidagi ko'rinishga egadir:



8-rasm.

yoki

$$m_2 P^2 S - m_2 P^2 S_0 + \frac{m_2 g}{L} S = 0$$

$$m_2 (P^2 S - P^2 S_0) + \frac{m_2 g}{L} S = 0. \quad (29)$$

Kran yoki aravachaning harakatlanish tenglamasi:

$$(m_0 + m_1) P^2 S_0 + \frac{m_2 g}{L} S = f(t). \quad (30)$$

(29) dan  $S_0$  bo'yicha ikkinchi tartibli hosila olamiz:

$$P^2 S = P^2 S + \frac{gS}{L}.$$

Olingen ifodani (30) tenglamaga qo'yamiz:

$$(m_0 + m_1) P^2 S_0 + \frac{g}{L} (m_0 + m_1 + m_2) S = f(t). \quad (31)$$

Bu ifodani quyidagi ko'rinishda yozamiz:

$$P^2 S_0 + \frac{g}{L} \left( 1 + \frac{m_2}{m_0 + m_1} \right) S = \frac{f(t)}{m_0 + m_1}. \quad (32)$$

Tenglamaning umumi yechimi quyidagicha yoziladi:

$$S = A \sin \sqrt{\frac{g}{L}} \left( 1 + \frac{m_2}{m_0 + m_1} \right) t + B \cos \sqrt{\frac{g}{L}} \left( 1 + \frac{m_2}{m_0 + m_1} \right) t + f(t)$$

yoki

$$S = A \sin \nu_1 t + B \cos \nu_1 t + f(t),$$

$$\text{bu yerda: } \nu_1 = \sqrt{\frac{g}{L}} \left( 1 + \frac{m_2}{m_0 + m_1} \right).$$

Taqriban  $f(t) = F_{\text{din}}$  deb qabul qilib, (31) tenglamining xususiy yechimini yozamiz:

$$f(t) = \frac{F_{\text{din}} L}{(m_0 + m_1 + m_2) g}.$$

Tenglamaning umumi yechimi to'la shaklda quyidagicha bo'ladi:

$$S = A \sin \nu t_1 + B \cos \nu t_1 + \frac{F_{\text{din}} L}{(m_0 + m_1 + m_2)g}.$$

Boshlang'ich shartlar:  $t = 0$  bo'lganda  $S = 0$ ,  $PS = 0$ , u holda

$$A = 0; \quad B = -\frac{F_{\text{din}} L}{(m_0 + m_1 + m_2)g}.$$

Tenglama umumiy yechimining so'nggi ko'rinishi quyidagicha:

$$S = \frac{F_{\text{din}} L}{(m_0 + m_1 + m_2)g} \left[ 1 - \cos \sqrt{\frac{g}{L} \left( 1 + \frac{m_2}{m_0 + m_1} \right)} t \right]. \quad (33)$$

$S = f(t)$  bog'lanishni grafik ko'rinishda 9-rasmida chizilgandek ko'rsatish mumkin. Unga ko'ra kran yoki aravachaning tezligi o'sib borganda yoki ular tormozlanganda yuk tebranadi, uning o'rtacha amplitudasi:

$$S_{\text{o'r}} = -\frac{F_{\text{din}} L}{(m_0 + m_1 + m_2)g}$$

va tebranish chastotasi:

$$\nu_1 = \sqrt{\frac{g}{L} \left( 1 + \frac{m_2}{m_0 + m_1} \right)}. \quad (34)$$

Yukning maksimal tebranish amplitudasi:

$$S_{\text{maks}} = -\frac{2F_{\text{din}} L}{(m_0 + m_1 + m_2)g}.$$

(34) dan ko'rinib turibdiki, yukning tebranish chastotasi yukning osilish uzunligi  $L$ , yukning aravacha va



kranning keltirilgan massasi qiyamatiga bog'liqdir. Yukning osilish uzunligi  $L$  kamaysa, tebranish chastotasi ortadi va amaliy hisoblashlarda eng og'ir mehnat sharoitiga mos keladigan eng kichik qiymati e'tiborga olinadi.

Maksimal amplituda  $S_{\text{maks}}$  ga mos keladigan vaqt:

$$t_{\text{maks}} = \pi \sqrt{\frac{g}{L} \cdot \frac{m_0 + m_1}{m_0 + m_1 + m_2}}.$$

Yukning tebranishini kamaytirish yo'llarini aniqlash uchun (33) tenglamadan hosila olamiz:

$$PS = \frac{F_{\text{din}} L}{(m_0 + m_1 + m_2)g} \nu \sin \nu_1 t,$$

$\nu_1 t = 2\pi n$ , bu yerda  $n$  — har qanday butun son.

Agar  $S = 0$  va  $PS = 0$  bo'lgan paytda kuchning ta'siri to'xtasa, bu kran yoki aravachaning tezligini o'sishini yoki tormozlanishni tamom bo'lganiga mos keladi. Unda yukning tebranishi to'xtaydi. Bundan shu kelib chiqadiki, ishga tushirish va tormozlash vaqtini quydagi teng deb olish zarur:

$$t_1 = 2\pi n \sqrt{\frac{g}{L} \cdot \frac{m_0 + m_1}{m_0 + m_1 + m_2}}.$$

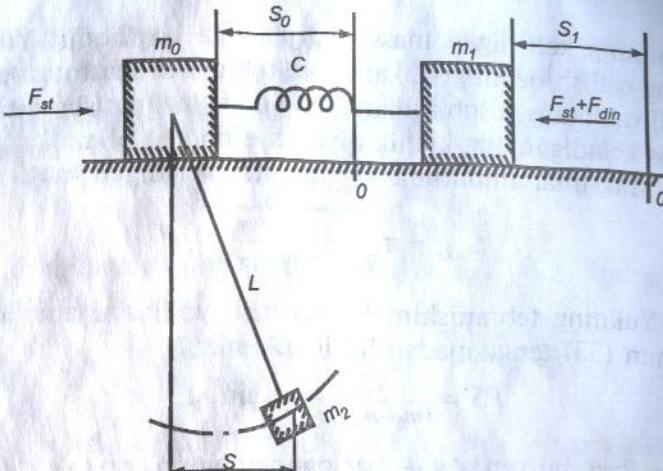
Ishga tushirish va tormozlash vaqtini elektrosvigatelning ishga tushirish va tormozlash momentlarining qiyematlarini o'zgartirib rostlash mumkin. Bunda bizga ma'lum bo'lgan

$$F_{\text{din}} = \frac{M_{\text{din}} i}{R_k} \eta$$

tenglikdan foydalanamiz.

#### 9. Yukning tebranish ta'siri va bo'g'inlarning elastiklik xususiyatini hisobga olgan holda ko'chma mexanizmlarni ishga tushirish va to'xtatish

Ko'chma mexanizmlarni ishga tushirilganda kran elementlarining va yukning harakatlanish sxemasi 10-rasmada keltirilgan.



10-rasm.

10-rasmdagi elementlarni quyidagicha belgilaymiz.  $m_1$  — elektrodvigatel va mustaning aylanuvchi qismlarining keltirilgan massasi;  $m_0$  — kran va aravachaning keltirilgan massasi;  $m_2$  — ko'chiriladigan yukning massasi;  $S_1$  —  $m_1$  massaning koordinati;  $S_0$  —  $m_0$  massaning koordinati;  $S$  — yukning vertikal holatidan og'ish masofasi;  $C$  — ko'chma mexanizm vallarining keltirilgan qattiqligi;  $t_1$  — ishga tushirish yoki to'xtatish vaqt;  $F_{st}$  — kran yoki aravachaning harakatlanishiga qarshi qarshilik kuchi;  $F_{din}$  — keltirilgan tezlatuvchi kuch;  $L$  — yukning yuqorida turgan holatida tortuvchi trosning uzunligi;  $g$  — og'irlilik kuch tezlanishi.

$m_1$  massa harakatining differensial tenglamasi quyidagicha yoziladi:

$$m_1 P^2 S_1 + (S_1 - S_0) C = F_{st} + F_{din}. \quad (35)$$

$m_0$  massaga ta'sir etuvchi  $F_0$  tashqi kuch  $S = f(t)$  vaqt birligi qonuniyati bo'yicha o'zgaruvchi, uning harakatlanishiga qarshilik ko'rsatuvchi qarshilikdan va yuk og'irligining gorizontal tashkil etuvchisi  $F_G = Sm_2 g / L$  ning yig'indisidan iboratdir:

$$F_0 = -F_{st} - \frac{m_2 g}{L} \varphi(t).$$

$m_0$  massa harakatining differensial tenglamasi quyida-  
gi ko'rinishga ega bo'ladi:

$$m_0 P^2 S_0 + (S_1 - S_0) C = -F_{st} - \frac{m_2 g}{L} \varphi(t). \quad (36)$$

(35) ifodani  $m_0$  ga, (36) ifodani  $m_1$  ga ko'paytirib va  
(33) ifodadan  $S = f(t)$  ni qiymatini qo'yib quyidagini  
olamiz:

$$\begin{aligned} m_0 m_1 P^2 S_1 + m_0 (S_1 - S_0) C &= F_{st} m_0 + F_{din} m_0, \\ m_0 m_1 P^2 S_1 + m_1 (S_1 - S_0) C &= -F_{st} m_1 - \frac{m_1 m_2 g}{L} \times \\ &\times \frac{F_{din} L}{(m_0 + m_1 + m_2) g} [1 - \cos \nu_1 t]. \end{aligned}$$

Birinchi tenglamani boshqa tenglama hadlaridan ayirib  
va yuqori hosalaning koeffitsiyentlaridan qutilib, quyidagini  
olamiz:

$$\begin{aligned} (P^2 S_1 - P^2 S_0) + \frac{(m_0 + m_1) C}{m_0 m_1} \cdot (S_1 - S_0) &= \quad (37) \\ = \frac{F_{st} (m_0 + m_1)}{m_0 m_1} + \frac{F_{din} m_0}{m_0 m_1} + \frac{F_{din} m_2 m_1}{m_0 m_1 (m_0 + m_1 + m_2)} [1 - \cos \nu_1 t]. \end{aligned}$$

Tenglamaning o'ng tomonisiz umumiy yechimi quyidi-  
agi ko'rinishga ega bo'ladi:

$$(S_1 - S_0) = A \sin \nu_2 t + B \cos \nu_2 t,$$

bu yerda:

$$\nu_2 = \sqrt{\frac{C(m_0 + m_1)}{m_0 m_1}}.$$

Tenglamaning xususiy yechimini quyidagi ko'rinishda  
olamiz:

$$(S_1 - S_0) = C + D \cos \nu_1 t,$$

bu yerda:

$$\nu_1 = \frac{g}{L} \left( 1 + \frac{m_2}{m_0 m_1} \right).$$

$(S_1 - S_0)$  ni (37) ifodaga qo'yib, quyidagiga ega bo'lamiz

$$C = \frac{F_{\text{din}}}{\nu_2^2} \left( \frac{1}{m_1} + \frac{m_2 g}{L \nu_1^2 m_0 (m_0 + m_1)} \right) + \frac{F_{\text{st}}}{C},$$

$$D = - \frac{F_{\text{din}} m_2 g}{L \nu_1^2 m_0 (m_0 + m_1) (\nu_2^2 - \nu_1^2)}.$$

(37) tenglamaning to'liq yechimini quyidagi ko'rinishda yozamiz:

$$(S_1 - S_0) = A \sin \nu_2 t + B \cos \nu_2 t + \frac{F_{\text{din}} m_2 g}{L \nu_1^2 m_0 (m_0 + m_1)} \times \\ \times \left( \frac{1}{\nu_2^2} - \frac{1}{\nu_2^2 - \nu_1^2} \cos \nu_1 t \right) + \frac{F_{\text{din}}}{\nu_2^2 m_1} + \frac{F_{\text{st}}}{C}.$$

Agar elektrodvigatelni ishga tushirguncha dastlabki qarshilik pog'onasi mavjud bo'lsa, uning valiga qiymati statik momentga deyarli yaqin bo'lgan qandaydir moment hosil bo'ladi. Bu holda mexanizm elementlari zo'riqqan holatda bo'ladi va elementlarning deformatsiyalanish tezligi nolga teng, deb hisoblash mumkin. Unda  $t = 0$  bo'lganda

$$S_1 - S_0 = F_{\text{st}}/C; \quad PS_1 - PS_0 = 0.$$

(37) tenglamaga boshlang'ich shartlarni qo'yib, quyidagini olamiz:

$$A = 0, \quad B = - \frac{F_{\text{din}}}{\nu_2^2} \left( \frac{1}{m_1} - \frac{m_2 g}{L m_0 (m_0 + m_1) (\nu_2^2 - \nu_1^2)} \right).$$

Elastik zvenoning deformatsiyasi uchun quyidagiga ega bo'lamiz:

$$(S_1 - S_0) = \frac{F_{\text{din}}}{\nu_2^2 m_1} (1 - \cos \nu_2 t) + \frac{F_{\text{din}} m_2 g}{L m_0 (m_0 + m_1) (\nu_2^2 - \nu_1^2)} \times$$

$$\times \left( \frac{1}{\nu_2^2} \cos \nu_2 t - \frac{1}{\nu_1^2} \cos \nu_1 t \right) + \frac{F_{\text{din}} m_2 g}{L m_0 (m_0 + m_1) (\nu_2^2 - \nu_1^2)} + \frac{F_{\text{st}}}{C}.$$

Mexanizmning elastik zvenosi qabul qiluvchi kuch:

$$F_{\text{elas}} = (S_1 - S_0) C.$$

Unda tenglamaning so'nggi ko'rinishini quyidagicha yozamiz

$$F_{\text{elas}} = \frac{F_{\text{din}} C}{\nu_2^2 m_1} (1 - \cos \nu_2 t) + \frac{F_{\text{din}} m_2 g C}{L m_0 (m_0 + m_1) (\nu_2^2 - \nu_1^2)} \times \\ \times \left( \frac{1}{\nu_2^2} \cos \nu_2 t - \frac{1}{\nu_1^2} \cos \nu_1 t \right) + \frac{F_{\text{din}} m_2 g C}{L m_0 (m_0 + m_1) (\nu_2^2 - \nu_1^2)} + F_{\text{st}}.$$

Ko'chma mexanizmni ishga tushirganda  $F = f(t)$  ning o'zgarish egri chiziqlari 11-rasmida keltirilgan.

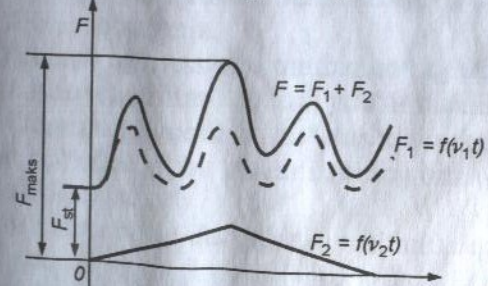
Yig'indi kuch  $F$ ,  $\nu_1$  va  $\nu_2$  chastotali tebranuvchi tizimning bir-birining ustiga tushishining natijasi bo'lib, ular bir-biriga nisbatan mustaqildir va kuchlarning maksimum qiymatlari istagan qiymatlarda to'g'ri kelishi mumkin.

U holda

$$F_{\text{maks}} = \frac{F_{\text{din}} C}{\nu_2^2 m_1} + \frac{2 F_{\text{din}} m_2 g C}{L m_0 (m_0 + m_1) (\nu_2^2 - \nu_1^2)} + F_{\text{st}}$$

yoki  $\nu_1$  va  $\nu_2$  larning o'rniga ularning qiymatlarini qo'yib va berilgan ifodani o'zgartirib quyidagini olamiz:

$$F_{\text{maks}} = \frac{2 F_{\text{din}} (m_0 + m_1)}{m_0 + m_1 + m_2} + F_{\text{st}}.$$



II-rasm.

Olingen ifodani tahlil qilib chiqamiz.

Ko'pchilik ma'lum bo'lgan konstruksiyalarda  $m_0 + m_2/m_0 + m_1 + m_2$  kattalikning nisbati 0,8...0,9 chegarasidadir. Kran elektrodvigatellarining dinamik momentlari  $M_{\text{din}}^{\text{nom}}$  dan to  $2M_{\text{din}}^{\text{nom}}$  gacha o'zgaradi, shuning uchun  $F_{\text{din}} \approx F_{\text{st}} \dots 2F_{\text{st}}$  deb qabul qilish mumkin. Unda

$$F_{\text{maks}} \approx 4F_{\text{st}} + F_{\text{st}} \approx 5F_{\text{st}}.$$

Yukning eng yuqori ko'tarilgan holatidagi tebranish chastotasi 0,2...0,3 Gs chegarasiga to'g'ri keladikim, uning tebranish davri  $T = 3..5$  s ga tengdir. Yukning tebranish amplitudasini kamaytirishning eng ko'p tarqalgan usullari yuritmaning o'rtacha tezlanishini, ya'ni dinamik moment  $M_{\text{din}}$  ni chegaralashdir:

$$A_{\text{o'rt}} = \frac{F_{\text{din}}}{m_0 + m_1}.$$

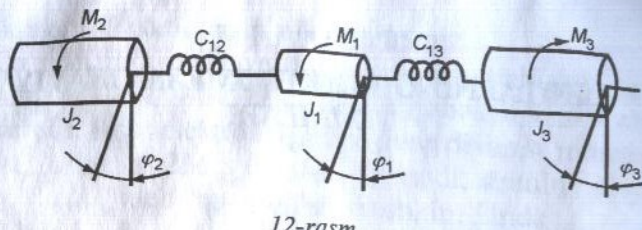
Bunda yuritmaning o'tkinchi jarayonining o'tish vaqtini cho'ziladi, ya'ni 2,0—5,0 s gacha kattalashadi. Bu esa ko'p hollarda mexanizmning ish unumдорligini kamaytiradi.  $F_{\text{din}}(M_{\text{din}})$  dinamik kuch (dinamik moment)ni vaqt bo'yicha ma'lum bir qonun asosida o'zgartirib shakllantirish yo'li bilan, tebranish amplitudasini yanada kamaytirish mumkin.

## II BO'LIM

### LIFTLARNING ELEKTROMEXANIKAVIY TIZIMLARI

Liftlarni harakatga keltiruvchi elektr yuritmani ishga tushirish jarayonini tadqiq qilishda quyidagilar o'rini deb faraz qilamiz:

1. Lift o'rnatilgan asosni mutlaqo qattiq deb olamiz, chunki mexanizmlar temir beton to'sinlarda montaj qilinadi. Ularning qattiqligi po'lat arqon qattiqligidan bir necha marta kattadir.
  2. Elektr yuritma tezlanishining oshib borishi bir necha sekundda bo'lganligi sababli, po'lat arqonning uzunligi shu vaqt davomida o'zgarmas bo'lib qolganligi uchun, po'lat arqonning qattiqligini o'zgarmas deb olamiz.
  3. Elektr yuritma, kabina va yukka qarama-qarshi (posangi) yuk massalariga nisbatan po'lat arqonning masasi kichik bo'lganligi uchun uni hisobga olmaymiz, pasajir va yuk tashuvchi liftlarda arqon massasini hisobga olinmaydi.
  4. Po'lat arqon o'tuvchi bosh bloklarda arqon sirpanmaydi deb hisoblaymiz.
  5. Yuklarning massasini mutlaq qattiq deb olamiz. Bu esa yuk tashuvchi liftlarda qattiq yuklar tashilishiga to'g'ri keladi. Odamlarni yuqoriga ko'tarishda yukning tebranishi sodir bo'ladikim, bu mexanizmning dinamik yuklanishi yumshatadi.
- Liftni uchta erkin darajali tizim sifatida qarash mumkin (12-rasm).
- Rasmida elementlar quyidagicha belgilangan:



12-rasm.

$J_1$  — rotoring inersiya momenti;  $M$  — elektrosvigateliy ishga tushuruvchi moment;  $J_2$  — kabina va yukning inersiya momenti;  $M_2$  — kabina va yukning hosil qiladigan momenti;  $J_3$  — qarama-qarshi (posangi) yuk hosil qiladigan moment;  $C_{12}$  va  $C_{13}$  kabina, po'lat arqonning va qarama-qarshi (posangi) yukning qattiqligi;  $\varphi_1$ ,  $\varphi_2$ ,  $\varphi_3$  — masalarning burchak koordinatalari.

Yuklangan holatda bo'lgan tizimning tezligi oshib borishi uchun harakat tenglamasi quyidagi ko'rinishga ega:

$$\left. \begin{aligned} J_1 P^2 \varphi_1 + (\varphi_1 - \varphi_2) C_{12} - (\varphi_3 - \varphi_1) C_{13} &= M, \\ J_2 P^2 \varphi_2 - (\varphi_1 - \varphi_2) C_{12} &= M_2, \\ J_3 P^2 \varphi_3 - (\varphi_3 - \varphi_1) C_{13} &= M_3. \end{aligned} \right\} \quad (38)$$

Noma'lumlarni qayta qo'yish yo'li bilan chiqarib tashlab, differentials tenglamalarning bitta o'zgaruvchili va uning hosilalari tizimiga keltirish mumkin:

$$\begin{aligned} P^6 \varphi_i + \left[ \frac{(J_1 + J_3) C_{13}}{J_1 J_3} \right] P^4 \varphi_i + \frac{(J_1 + J_2 + J_3) C_{12} C_{13}}{J_1 J_2 J_3} P^2 \varphi_i = \\ = \frac{(M + M_2 - M_3) C_{12} C_{13}}{J_1 J_2 J_3}, \end{aligned}$$

bu yerda:  $i = 1, 2, 3$ .

(39) tenglamani ikki marta integrallab, quyidagini olamiz:

$$P^4 \varphi_i + \left[ \frac{(J_1 + J_2) C_{12}}{J_1 J_2} + \frac{(J_1 + J_3) C_{13}}{J_1 J_3} \right] P^2 \varphi_i + \frac{(J_1 + J_2 + J_3) C_{12} C_{13}}{J_1 J_2 J_3} \varphi_i =$$

$$= \frac{(M + M_2 - M_3) C_{12} C_{13}}{2 J_1 J_2 J_3} t^2 + Ht + E. \quad (40)$$

(40) tenglamaning umumi yechimi quyidagi ko'rinishga ega:

$$\varphi_i = A_i \sin \nu_1 t + B_i \cos \nu_1 t + C_i \sin \nu_2 t + D_i \cos \nu_2 t + N_i t^2 + K_i t + L_i,$$

bu yerda:

$$v_{1,2} = \sqrt{\frac{(J_1 + J_2) C_{12}}{2 J_1 J_2} + \frac{(J_1 + J_3) C_{13}}{2 J_1 J_3} \pm \sqrt{\left[ \frac{(J_1 + J_2) C_{12}}{2 J_1 J_2} + \frac{(J_1 + J_3) C_{13}}{2 J_1 J_3} \right]^2 - \sqrt{\sqrt{\frac{(J_1 + J_2 + J_3) C_{12} C_{13}}{J_1 J_2 J_3}}}},$$

$\varphi_1$ ,  $\varphi_2$ ,  $\varphi_3$  lar uchun mos holda (40) tenglamaning xususiy yechimini va integrallash doimiylari  $A$ ,  $B$ ,  $C$ ,  $D$  larni olish mumkin. Liftning elektr yuritmasi uchun  $t = 0$  bo'lganda, boshlang'ich shartlar:  $\varphi_1 = 0$ ,  $P\varphi_1 = 0$ ,  $\varphi_2 = M_2/C_{12}$ ,  $P\varphi_2 = 0$ ,  $\varphi_3 = M_3/C_{13}$ ,  $P\varphi_3 = 0$ .

(38) tenglama tizimidan  $t = 0$  bo'lganda quyidagilarni olamiz:

$$P^2 \varphi_1 = \frac{M + M_2 - M_3}{J_1}, \quad P^3 \varphi_1 = 0, \quad P^4 \varphi_1 = \frac{(M + M_2 - M_3)(C_{12} - C_{13})}{J_1^2},$$

$$P^6 \varphi_1 = 0, \quad P^2 \varphi_2 = 0, \quad P^3 \varphi_2 = 0, \quad P^4 \varphi_2 = \frac{(M + M_2 - M_3) C_{12}}{J_1 J_2},$$

$$P^5 \varphi_2 = 0, \quad P^2 \varphi_3 = 0, \quad P^3 \varphi_3 = 0,$$

$$P^4 \varphi_3 = \frac{(M + M_2 - M_3) C_{13}}{J_1 J_3}, \quad P^5 \varphi_3 = 0.$$

Boshlang'ich va olingan shartlarni qo'yib, xususiy yechimini topamiz:

$$\varphi_1 = B_1 \cos \nu_1 t + D_1 \cos \nu_2 t + \frac{(M + M_2 - M_3) t^2}{2(J_1 + J_2 + J_3)} + L_1,$$

$$\varphi_2 = B_2 \cos \nu_1 t + D_2 \cos \nu_2 t + \frac{(M+M_2-M_3)t^2}{2(J_1+J_2+J_3)} + L_2,$$

$$\varphi_3 = B_3 \cos \nu_1 t + D_3 \cos \nu_2 t + \frac{(M+M_2-M_3)t^2}{2(J_1+J_2+J_3)} + L_3.$$

Elastik zveno qabul qiladigan momentlar:

$$M_{12} = (\varphi_1 - \varphi_2) C_{12}, \quad M_{13} = (\varphi_1 - \varphi_3) C_{13}.$$

Elastik zvenolardagi momentlar:

$$M_{12} = \frac{(M+M_2-M_3)C_{12}}{J_1(\nu_1^2-\nu_2^2)} \left[ \left( \frac{C_{12}}{J_1} + \frac{C_{12}+C_{13}}{J_1} - \nu_1^2 \right) \frac{1}{\nu_2^2} \cos \nu_2 t - \frac{1}{\nu_1^2} \left( \frac{C_{12}}{J_2} + \frac{C_{12}+C_{13}}{J_1} - \nu_2^2 \right) \cos \nu_1 t \right] + \frac{(M+M_2+M_3)J_2}{J_1+J_2+J_3} + M_2, \quad (41)$$

$$M_{13} = \frac{(M+M_2-M_3)C_{13}}{J_1(\nu_1^2-\nu_2^2)} \left[ \left( \frac{C_{13}}{J_3} + \frac{C_{12}+C_{13}}{J_1} - \nu_1^2 \right) \frac{1}{\nu_1^2} \cos \nu_1 t - \frac{1}{\nu_2^2} \left( \frac{C_{13}}{J_3} + \frac{C_{12}+C_{13}}{J_1} - \nu_2^2 \right) \cos \nu_2 t \right] + \frac{(M+M_2-M_3)J_2}{J_1+J_2+J_3} + M_3. \quad (42)$$

Olingan (41) va (42) ifodalarni umumlashtirilgan holda quyidagicha yozish mumkin:

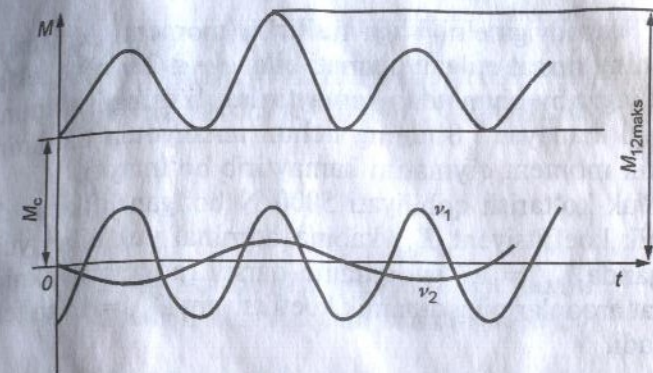
$$M_{12} = a_1(b_1 \cos \nu_2 t - c_1 \cos \nu_1 t) + d_1 + l_2;$$

$$M_{13} = a_2(b_2 \cos \nu_2 t - c_2 \cos \nu_1 t) + d_2 + l_3.$$

Erkinlik darajasi uchta bo'lgan tizim uchun elastik zvenoning bittasining yuk o'zgarishining egri chiziqlari 13-rasmda keltirilgan.

Egri chiziqlardan eng katta yuk ketma-ket kelayotgan tebranish to'lqinining birida vujudga keladi. Chunki kosinus  $-1$  dan  $+1$  gacha o'zgaradi, unda yukning eng katta qiymatlarida ularning ayirmasini aniqlash mumkin.

$M_{12}$  momentning eng yomon sharoiti:  $\cos \nu_1 t = \cos \nu_2 t = -1$  bo'lgandadir, bunda maksimal yuk:



13-rasm.

$$M_{12maks} = \frac{2(M+M_2-M_3)J_2}{J_1+J_2+J_3} + M_2; \quad (43)$$

$\cos \nu_1 t = \cos \nu_2 t = 1$  bo'lganda,  $M_{13}$  moment quyida-giga teng bo'ladi:

$$M_{13maks} = \frac{2(M+M_2-M_3)J_2}{J_1+J_2+J_3} + M_3. \quad (44)$$

Bu moment qiymatlaridan biri maksimaldir.

Ma'lumki, qarama-qarshi yuk (posangi) va kabinaning bir-biriga nisbatan og'irligi quyidagi tenglamadan aniqlanadi:

$$G_{\text{pos}} = G_k + 0,5 G_{\text{yuk}} \quad (45)$$

bu yerda:

$G_{\text{pos}}$  — qarama-qarshi (posangi) yukning massasi;  
 $G_k$  — kabinaning massasi;  $G_{\text{yuk}}$  — yukning massasi.  
 (45) tenglamadan lift uchun elektrosvigatelning optimal quvvati aniqlanadi va shu sababli (43) va (44) tenglamalardagi elektrosvigatel va yukning hosil qilgan momenti hamda elektrosvigatelning inersiya momenti kabi-na va qarama-qarshi (posangi) yuklarning momentlari keng chegarada o'zgaradi.

### III BO'LIM

## EKSKAVATORLARNING ELEKTROMEXANIKAVIY TIZIMLARI

Elektrosvigatelni ishga tushirish momenti  $M_{dv}$  tezlanishning ruxsat etilgan qiymati bilan ( $\alpha \leq 2m/c^2$ ) cheklanadi, agar bu qiymatdan kamaytirilsa, liftning ish unum-dorligi kamayadi. Shuning uchun amaliyotda tizimning elastik moment qiymatini kamaytirib bo'lmaydi.

Yuk ko'tarish qobiliyati 5000 N bo'lgan liftlarda dinamik koeffitsiyent  $K_{din}$  kabina nominal yuk bilan yuqlanganda  $K_{din} = 1,4$  ga, qarama-qarshi (posangi) yukning po'lat arqonlarining dinamik koeffitsiyent  $K_{din} = 16$  ga teng bo'ladi.

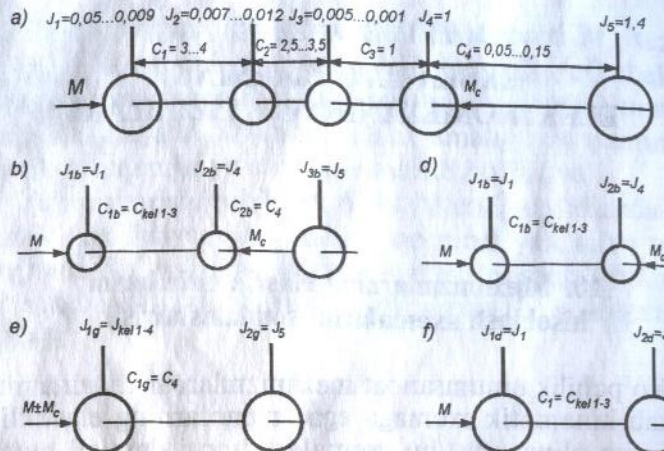
### 10. Mehanizmlarning elastik tizimlarini hisoblash sxemalarini soddalashtirish

Ko'pchilik umumsanoat mehanizmlari anchagina murakkab kinematik sxemaga ega, zvenolarning elastikligi e'tiborga olinganda, bu sxemalar yuqori darajali matematik tenglamalar bilan ifodalanadi. Erkinlik darajasi uchta va undan ortiq bo'lgan tizimlarni tahlil qilishda, ketma-ket yaqinlashish usulini qo'llab, juda katta hisoblash ishlarini bajarish orqali ularning asosiy parametrлari aniqlanadi. Inersiya momentlari va mehanizmnинг qattiqligi munosabatlарini e'tiborga olib, odatda ko'p zvenoli, tizimni bitta yoki ikkita erkinlik darajasiga ega bo'lgan elastik tizim bilan almashtirishga harakat qiladilar. Ekskavatorning aylantiruvchi mehanizmi misolida elastik tizimni hisoblash sxemasini soddalashtirish yo'llarini ko'rib chiqamiz.

Ekskavatorning buruvchi mehanizmi va ishchi uskunalarining elastik tizimlarini hisoblash sxemasini erkinlik darajasi beshta bo'lgan hisoblash sxemasi ko'rinishida tasvirlash mumkin (14-a rasm).

Rasmda asosiy (bazaviy) kattaliklar sifatida eng keyingi valning qattiqligi  $C_3 = 1$  va buradigan platformaning inersiya momenti  $J_4 = 1$  ga teng deb olingan. Bu kattaliklar nisbiy birlikda ifodalangan.

Cho'mich va uning ichidagi tuproqning inersiya momenti  $J_5$  ning o'zgarish chegarasi va sxemada ko'rsatilgan ishchi uskunalarining qattiqligi  $C_4$  cho'mich va uning ichidagi tuproqni qanchalik uzoqqa uzatish mumkinligi chegarasini ko'rsatadi.



14-rasm.

Uskunalarning elementlari alohida qattiqlik darajasini va inersiya momentlarini taqqoslab ko'rish, hisoblash sxemasini soddalashtirish mumkin ekanligini ko'rsatadi.

Agarda buruvchi mexanizmda tebranishning yuqori chastotasini e'tiborga olinmasa ( $\nu_2 = II$ ,  $\nu_1 = 2,8$ ), erkinlik darjasini beshta bo'lgan hisoblash tizimini erkinlik darjasini uchta bo'lgan tizimga keltirish mumkin (14-b rasm).

Hisoblash sxemasini yanada soddalashtirish uchun platformani burish mexanizmi vallarining qattiqligi va inersiya momentlarini solishtirib olib borish mumkin.

Buruvchi mexanizm vallarining yig'indi qattiqligi eng keyingi valning qattiqligining 10 % dan oshmaydi, buruvchi platformaning inersiya momenti esa, mexanizmning hamma aylanuvchi massalarining inersiya momentlariidan o'rtacha 10 marta kattadir. Bu holda erkinlik darjasini ikkiga teng bo'lgan alohida sxemalardan (14-d, e rasm) dinamik yuklarni hisoblash mumkin.

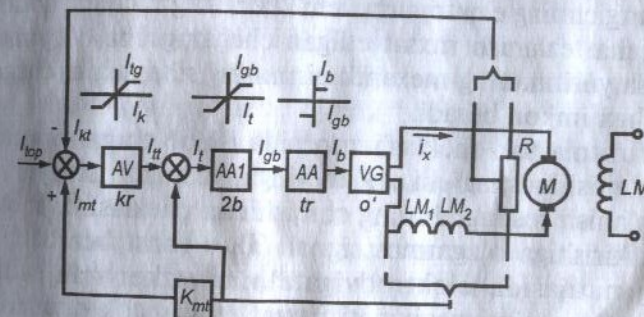
10...20 % elektrodvigatel momentini tashkil etuvchi  $M_c$  statik momentni hisobga olmasdan buruvchi mexanizm elastik tizimini hisoblash uslubiyatini yanada soddalashtirish mumkin (14-f rasm).

Yuqorida keltirilgan ekskavatorning buruvchi mexanizmining soddalashtirilgan hisoblash sxemasidan foydalaniib, ma'lum cheklovlarini hisobga olgan holda I va II bo'limlarda ko'rsatilgan formulalardan foydalaniib, ekskavatorning elektromexanikaviy tizimini tahlil qilish mumkin.

Umum ishlataladigan kranlarning elektromexanikaviy tizimlarini tahlil qilishda olingan xulosalardan bu yerda ham foydalanish mumkin.

## 11. Ekskavatorlarning bo'ysunuvchi rostlanuvchan tizimlarda sozlashning turlarini tanlash

Ekskavatorlar elektr yuritmalarining umumlashgan tuzilmasi



15-rasm.

Hozirgi zamон ekskavatorlarining asosiy mexanizmlarining elektr yuritmalarini boshqarish uchun uning elektrodvigatelinini tiristorli o'zgartirkich orqali ta'minlashda 15-rasmda ko'rsatilgan tuzilmadan foydalilanadi.

Tuzilma ikki konturli, dvigatelning yakor toki va o'zgartirkichning kuchlanishi bo'yicha bo'ysunuvchi rostlanuvchan tizimidan iboratdir. Tuzilma quyidagi elementlardan tashkil topgan: elektrodvigatel  $M$ , o'zgartirkich  $VG$ , tok rostagichi  $AA$ , cheklash zvenosi  $AA1$ , kuchlanish rostagichi  $AV$ .

Tok rostlagichi sifatida  $I$  tipidagi integrallash rostlagichdan foydalaniladi, uning integrallash doimiysi  $T_i$  ga tengdir. U holda elektrosvigatelning yakor zanjirining vaqt doimiysi  $T_{ya}$  kompensatsiyalanmaydi. Yakor zanjiridagi tokni cheklash zvenosining  $AA1$  kirish qismiga (uning xarakteristikasi shundayki, chiqish qiymati cheklangan, o'tkinchi jarayonda maksimal tezlanishni cheklashni ta'minlaydi) kuchlanish rostlagichining chiqishidagi signal  $I_{ta}$  va elektrosvigatelning qo'shimcha qutbi  $LVI$  va kompensatsiya chulg'ami  $LM2$  dan olinayotgan yakor toki bo'yicha manfiy teskari aloqalar qo'shiladi.  $U_{TA} = K_{TA} * i_{ya}$ .

Elektr yuritmani ishga tushirish paytida tayanch tokidan kamroq qiymatgacha tok o'sib borganda, cheklash zvenosining kirish qismiga katta signal beriladi va natijada kuchaytirgich  $AA1$  to'yingan zonada ishlaydi, shu sababli o'zgartichning elektr yurituvchi kuchi to'g'ri chiziq qonuni bo'yicha tezlanish ruxsat etilgan chegaragacha o'zgaradi, bu esa yuritmaning mexanik qismining siltanishini chegaralashga imkon beradi.

Yuritma tok cheklash zonasida ishlab turgan vaqtida kuchlanish rostlagichi  $AV$  to'yingan zonada ishlaydi va kuchlanish rostlagichining chiqishidan cheklash zvenosining kirishiga o'zarmas signal  $U_{TT} = \text{const}$  beradi, buning natijasida elektrosvigatelning yakor zanjiridan o'tayotgan tokning qiymati ruxsat etilgan tok qiymatiga tengdir. U holda o'zgartichning kirishidagi kuchlanish elektrosvigatelning ruxsat etilgan tezlanishiga nisbatan proporsional o'zgaradi:

$$U_{*ikTR} = T_i \frac{du}{dt} = CT_i \varepsilon_{rux.et.},$$

bu yerda  $\varepsilon_{rux.et.}$  — elektrosvigatelning ruxsat etilgan tezlanishi.

Agarda elektrosvigatelning yakor zanjiridan o'tayotgan tok kamaysa,  $U_{TT} = K_{TO} * i_{ya}$  ko'payadi va cheklash zvenosi xarakteristikating to'ymagan qismiga o'tadi.

Sxemada o'zgartichning  $VG$  kuchlanish bo'yicha  $U_{ko}$  teskari aloqadan foydalaniladi. Proporsional kuchlanish rostlagichining kirish qismida topshiriq kuchlanish darajasi (elektrosvigatel tezligi)  $U_{top}$  va kuchlanish bo'yicha teskari aloqa  $V_{lt}$  algebraik bir-biriga qo'shiladi. Elektr yuritmaning mexanik xarakteristikasining ishchi uchastkasining qattiqligini ta'minlash uchun kuchlanishni rostlashda kuchlanish rostlagichining  $AV$  kirish qismida tok bo'yicha musbat teskari aloqa signali beriladi.  $I_{mt}$  tok bo'yicha musbat teskari aloqa kuchlanish rostlagichining  $AV$  kirish qismiga ko'effitsiyenti  $K_{mt} = 1/K_{kr}$  bo'lgan qiyamat beriladi.

Bu yerda  $K_{kr}$  — kuchlanish rostlagichining uzatma ko'effitsiyenti. Bu chiqish kuchlanishi  $I_{ta}$  kuchlanish rostlagichi xarakteristikasining to'g'ri chiziqli qismida ishlashini ta'minlaydi, uning tashkil etuvchilari bo'lib, har bir daqiqada tok bo'yicha manfiy teskari aloqa  $I_{ta}$  ning son qiymatiga tengdir, bu signal tokni cheklash  $AA1$  zvenoning kirish qismiga ta'sir qiladi. Shunday qilib, bu yo'l bilan sozlashda tok bo'yicha musbat teskari aloqa ichki tok konturining ta'sirini kompensatsiya qiladi, natijada elektr yuritmaning mexanik xarakteristikasini yumshatadi va yakorni tok bo'yicha ochiq tizim deb qarash mumkin. Ekskavatorlarda qo'llaniladigan elektr yuritmaning mexanik xarakteristikasining ishchi zonasining qattiqligini yakor tokining musbat teskari aloqa ko'effitsiyentini tanlash orqali amalga oshiriladi.

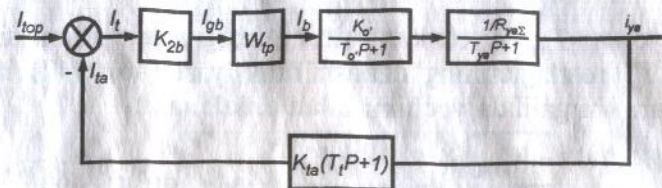
Tok bo'yicha manfiy teskari aloqa ta'sirini kompensatsiyalash elektrosvigatelning yakor zanjiriga berilayotgan kuchlanishni o'zarmasligini va elektr yuritma mexanik xarakteristikasining talabdagi qattiqligini ta'minlaydi. Ketma-ket korreksiyalı tizimlarda mavjud bo'lgan elektr yuritmaning statik xarakteristikasining qattiqligi bilan o'tkinchi jarayonning sifati orasidagi aloqani tuzatadi.

Kuchlanish rostlagichi  $AV$  tokni chegaralash zonasida ishlaganda to'yingan rejimda bo'ladi va uning chiqishida

$V_{top} = V_{top.maks} = \text{const}$  doimiy kuchlanish bo'ladi. Nati-jada tok bo'yicha musbat aloqa o'z ta'sirini yo'qotadi va tizim bir konturli rostlanuvchan tizim sifatida ishlaydi.

Strukturating asosiy kamchiligi integral rostlagichning yakor zanjirining elektromagnit vaqt doimisi  $T_{ya}$  ni kom-pensatsiya qila olmasligi, bu kompensatsiya qilinmaydigan vaqt doimisi  $T_\mu = T_i + T_{ya}$  ning oshib ketishiga olib keladi, natijada ketma-ket korreksiyaning bo'lishiga qaramasdan, elektr yuritmaning tezkorligi kamayadi. Bundan tashqari, elektrodvigatel tezligining o'zgarish tempi katta bo'lganda (bu esa ekskavator elektr yuritmasiga taalluqli) ichki elektr yurituvchi kuchning ta'siri bo'lishiga qaramasdan, yuritmaning statik xarakteristikasi bilan dinamik xarakteristika-sining o'rtasida katta tafovut mavjuddir, bu hol ayniqsa o'ta yuklanishda, ishga tushirish va tormozlash rejimlari-da o'z ta'sirini ko'rsatadi. Bu holda tokni rostlashning dinamik xatosi  $\Delta I \approx 30\%$  va undan ortiqdir. Bu kamchilikni yo'qotish uchun tok bo'yicha manfiy aloqa signaliga rostlanayotgan qiymatning hosilasiga mutanosib bo'lgan tashkil etuvchi kiritiladi. Bu ketma-ket va parallel korreksiyani qo'llashga ekvivalentdir. Lekin struktura parametrlarini tanlashga va ketma-ket korreksiyalash usuliga xos bo'lgan yo'lni qo'llashni qulaylashtirishga imkon beradi. Sxemada rostlagichlar sifatida yuqori chastotali shov-qinlarga sezgir bo'lmagan magnitli kuchaytirgichlardan foydalilanadi.

Ekskavator elektr yuritmasini sozlashda elektr yuritmaning berilgan dinamik ko'rsatkichlarini olish uchun qisqa tutashish rejimida (elektrodvigatelning qo'zg'atish zanjiri manbadan uzilgan holda) tok konturi va salt ish-lash rejimida (yakor zanjiri uzuq bo'lganda) kuchlanish konturi sozlanadi. Bu rejimlarda yuritmalar eng qulay (optimal) sozlanganda mexanizm ishlaganda elektr yuritmaning dinamikasi qulay (optimal) bo'lishiga yaqinlashuvi ta'minlanadi. Ko'rileyotgan tizimning qisqa tutashish rejimi elektrodvigatelning elektr yurituvchi bo'yicha ichki



16-rasm.

aloqasi yo'q bo'lgan tizimning ishlash sharoitiga mos ke-ladi. Salt ishlash rejimi bo'yicha kuchlanish konturini sozlash tezlik bo'yicha teskarli aloqa o'rniga kuchlanish bo'yicha teskarli aloqadan foydalanishga hamda dvigatelning yakor toki bo'yicha musbat aloqani kompensatsiya-lashni qo'llashga asoslangan. Shu sababli kuchlanish konturi ishlaganda tok bo'yicha teskarli aloqa ochiq holda bo'ladi, deb hisoblash mumkin.

Qisqa tutashish rejimida qulaylashtirilgan tok konturi-ning struktura sxemasi 16-rasmda keltirilgan. Tokni  $T_{ya} + T_{o'} = T_\mu$  bo'lgan sharoitda tokni rostlash obyektini uzatish funksiyasini quyidagi ko'rinishga keltirish mum-kin:

$$W_T(P) = \frac{K_{2b} K_{o'} / R_{ya} \Sigma}{(T_{ya} P + 1)(T_{o'} P + 1)} \approx \frac{K_{2b} K_{o'} / R_{ya} \Sigma}{(T'_\mu P + 1)}, \quad (46)$$

bu yerda:  $T'_\mu$  — kompensatsiya qilinmaydigan vaqt doi-misi;

$K_{2b}$  — chegaralash zvenosining uzatish koeffitsiyenti;

$K_{o'}$  — o'zgartgichning uzatish koeffitsiyenti;

$R_{ya \Sigma}$  — elektrodvigatelning yakor zanjiridagi qarshilik-larning yig'indisi;

$T_{o'}$  — o'zgartgichning vaqt doimisi.

Zanjiri ochiq bo'lgan tok konturining uzatish funksi-yasi quyidagi ko'rinishga ega bo'lishi lozim:

$$W_{ochiq+ikT}(P) = \frac{1 / K_{oT}}{T_{oT} P (T'_\mu P + 1)}, \quad (47)$$

bu yerda:  $T_{\text{OT}}$  — tok konturining integrallash doimiysi.  
 $T_{\text{ok}}$  rostlagichning uzatish funksiyasi (46), (47) ifodalarini birgalikda yechimi bilan aniqlanadi:

$$W_{\text{TP}}(P) = W_{\text{o+ikT}}(P) \cdot W_{\text{T}}(P) = \frac{R_{\text{ya}\Sigma}}{K_{2b} K_o K_{\text{OT}} T_{\text{OT}} P} = \frac{1}{T_i P},$$

bu yerda:  $K_{\text{OT}}$  — tok bo'yicha teskari aloqaning uzatish koeffitsiyenti;

$$T_i = K_{2b} K_o K_{\text{OT}} / R_{\text{ya}\Sigma}.$$

Bunday sharoitda berk tok konturining uzatish funksiyasi quyidagicha ifodalanadi:

$$\Phi_{\text{T}}(P) = \frac{1 / K_{\text{OT}}}{T_{\text{OT}} T'_{\mu} P^2 + (T_{\text{OT}} + T_{\text{T}}) P + 1}, \quad (48)$$

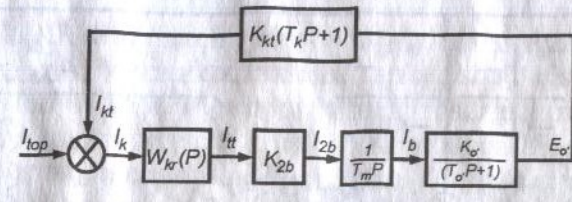
bu yerda:  $T_{\text{T}}$  — tok bo'yicha elastik aloqaning doimiysi.  
(48) ifodadan ma'lumki, tokni rostlash konturiga tokning hosilasiga mutanosib bo'lgan signalni kiritilishi vaqt doimiylari va jarayon xarakteri oralaridagi munosabatlarning qattiq bog'lanishlarini buzib, sozlash imkoniyatini kengaytiradi.

Ma'lumki, ketma-ket korreksiya elektr yuritmaning dinamik ko'rsatkichlarini olishni ta'minlaydi. Bu ko'rsatkichlar konturining  $\alpha_{\text{T}} = T_{\text{OT}} / T'_{\mu}$  munosabatlarini tashlash yo'li bilan aniqlanadi. Sozlash uchun texnik (modulli) optimal vaqt doimiylari  $\alpha = 1..4$  orasida bo'ladi. Tok konturining tezkorligi vaqt doimiysi  $\alpha$  bilan kompensatsiya qilinmaydigan vaqt doimiysi  $T'_{\mu}$  darajani munosabatlari bilan aniqlanadi.

(48) xarakteristik tenglamaning ildizlari quyidagicha aniqlanadi:

$$P_{1,2} = \frac{1}{T_{\text{OT}}} \left( -\frac{(T_{\text{OT}} + T_{\text{T}}) / T'_{\mu}}{2} \pm \sqrt{\frac{[(T_{\text{OT}} + T_{\text{T}}) / T'_{\mu}]^2}{4} - \frac{T_{\text{OT}}}{T'_{\mu}}} \right).$$

Aperiodik jarayonning chegaraviy holatida (diskriminant nolga teng):



17-rasm.

$$T_{\text{T}} = T'_{\mu} (2\sqrt{\alpha_{\text{T}}} - \alpha_{\text{T}}). \quad (49)$$

(49) ifodada  $T_{\text{T}}$  va  $T'$  vaqt doimiyalarining istalgan nisbatida xarakteristik tenglamaning mos diskriminantini ta'minlovchi elastik tashkil etuvchisini tanlab, chulg'amlar parametrini o'zgartirib, o'tkinchi jarayonning berilgan sifatini olish mumkinligini ko'rsatadi. Bu ishga tushirish va tormozlashdagi o'tkinchi jarayonlarda tok  $\Delta I$  ni rostlashda yo'li qo'yiladigan eng kichik xatoni olish uchun lozim bo'lgan  $\alpha_{\text{T}}$  ning optimal qiymatini tanlashga imkon beradi.

Olingen tok rostlagichining uzatish funksiyasi va kuchlanish rostlash konturini salt ishslash rejimidagi struktura sxemasi 17-rasmda keltirilgan:

Ochiq kuchlanish rostlagich konturining uzatish funksiyasi quyidagi ko'rinishga ega:

$$W_{\text{k}}(P) = \frac{1 / K_{\text{KT}}}{T_{\text{KT}} P (T'_{\mu} P + 1)}, \quad (50)$$

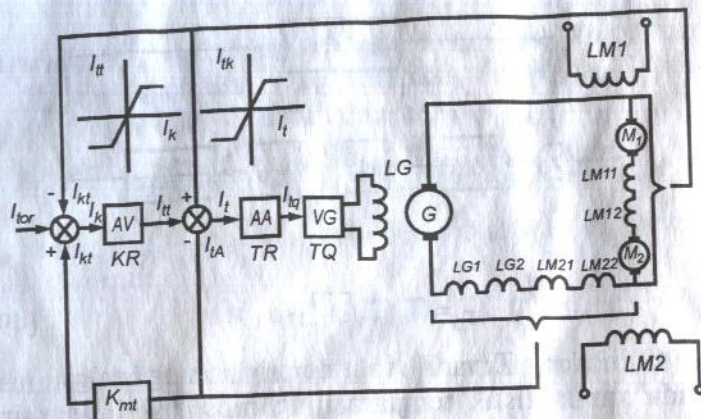
bu yerda:  $T'_{\mu}$  — kichik o'zgarmas vaqt doimiysi. Bu vaqt doimiysi o'zgartgichning vaqt doimysiga teng  $T''_{\mu} = T_i$ .

Kuchlanishni rostlash obyekti konturi uchun uzatish funksiyasini quyidagicha yozish mumkin:

$$W_{\text{OKR}}(P) = K_{2b} K_o / P T_i (T''_{\mu} P + 1).$$

Kuchlanish rostlagichining uzatish funksiyasi:

$$W_{\text{KR}}(P) = \frac{T_i}{T_{2b} K_o \cdot K_{\text{KT}} T_{\text{KT}}} = K_{\text{KR}}. \quad (51)$$



18-rasm.

(50) va (51) formulalardan kuchlanish bo'yicha berk konturning uzatish funksiyasi

$$\Phi_H(P) = \frac{1/K_{KT}}{T_{KT}T'_\mu P^2 + (T_{KT} + T_K)P + 1}$$

ko'rinishda ekanligi kelib chikadi.

Kuchlanish konturini sozlash tok konturini sozlash kabi bo'lib, u  $T_{KT}$ ,  $T'_\mu$  va  $T_K$  vaqt doimiyalarining nisbatlarini tanlash yo'li bilan olib boriladi.  $\alpha_K$  va  $T_K$  qiymatlari tok konturi uchun keltirib chiqarilgan formulalar bo'yicha aniqlanadi [2].

Generatorning qo'zg'atish chulg'am zanjiri, tiristorli o'zgartgich bilan ta'minlangan va oraliq kuchaytirgichli generator-dvigatel tizimining elektr yuritmasini boshqarishda ekskavator strukturasining optimal strukturasi 18-rasmida keltirilgan.

Struktura quyidagi elementlardan tashkil topgan: elektrodvigatel  $M_1$ ,  $M_2$  generator  $G$ , qo'zg'atgich  $VG$  tokni cheklash zvenosi (tok rostlagichi)  $AA$ , kuchlanish rostlagichi  $AV$  dan iboratdir. Tok rostlagichining kirish qismiga topshiriq signal  $U_{top}$  va yakor zanjiridan olingan tok bo'yicha teskari aloqa  $U_{TT}$  signallari yig'indisi beriladi. Tok rostlagichi yakor zanjiri tokini chegaralovchi zveno sifati-

da ishlaydi va o'tkinchi jarayonda maksimal tezlanishni chegaralaydi. Mexanik xarakteristikaning ishchi qismining qattiqligini oshirish uchun kuchlanish rostlagichining kirish qismiga tok bo'yicha musbat teskari aloqa  $U_{MT}$  beriladi. Sxemada generatorning kuchlanishi  $U_{KT}$  bo'yicha manfiy teskari aloqadan foydalaniladi. Bu signal kuchlanish rostlagichning kirish qismida va tiristor uyg'otgich  $VG$ , generator  $G$ , tok rostlagich  $AA$  ni qurshab olgan generator kuchlanishi bo'yicha musbat teskari aloqa bilan algebraik qo'shiladi.

Zanjirning kuchlanish bo'yicha musbat teskari aloqa bilan qurshalgan va tok rostlagichi  $AA$  tiristorli o'zgartgich  $VG$  va generator  $G$  dan iborat bo'lган ichki qismining uzatish funksiyasi 19-rasmida keltirilgandek bo'лади:

$$W_{TR, TQ, G}(P) = \frac{e_g(P)}{U_{TG}(P)} = \\ = \frac{K_{TR} K_{TQ} K_G}{(T_{TR} P + 1)(T_{TQ} P + 1)(T_K P + 1) - K_{TR} K_{TQ} K_G K},$$

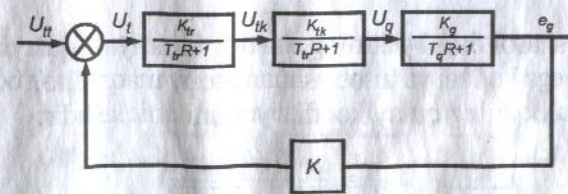
bu yerda:

$K_{TR}$ ,  $K_{TQ}$ ,  $K_T$  va  $K$  — tok rostlagichi, tiristorli qo'zg'atgich, generator va kuchlanish bo'yicha musbat teskari aloqaning uzatish koefitsiyentlari;

$T_{TR}$ ,  $T_{TQ}$ ,  $T_K$  — tok rostlagichi, tiristorli qo'zg'atgich va generatorning uyg'otish zanjirining vaqt doimiyları.

Kuchlanish bo'yicha teskari aloqaning kritik koefitsiyentini olish uchun quyidagi tenglikni saqlash lozim:

$$K = K_{KR} = \frac{1}{K_{TR} K_{TQ} K_G},$$



19-rasm.

$T_{\text{TK}}/T_{\text{K}} \approx 0$  va  $T_{\text{TR}}/T_{\text{K}} \approx 0$  deb, (52) dan quyidagini olamiz:

$$W_{\text{TR}, \text{TQ}, \text{G}}(P) = \frac{e_g(P)}{U_{\text{TG}}(P)} = \frac{K_{\text{TR}} K_{\text{TQ}} K_{\text{G}}}{T_{\text{K}} P (T_{\text{U}} P + 1)}$$

bu yerda:  $T_u = T_{\text{TR}} - T_{\text{K}}$  — tok rostlagichi va tiristorli qo'zg'atgichning yig'indi vaqt doimisi.

$T_m > 2T_{\text{ya}}$  bo'lganda elektrosvigatelning elektr yurituvchi kuchi bo'yicha ichki teskari aloqaning dinamik jarayonlarga ta'siri rostlagichning berk tizimida uncha ahamiyatga ega emas, deyish mumkin, bu esa uni e'tiborga olmaslikka imkon beradi. Bu holda tokni rostlash konturining ochiq zanjirining uzatish funksiyasi quyidagi ko'rinishga ega bo'ladi:

$$W_{\text{KT}}(P) = \frac{K_{\text{TR}} K_{\text{TQ}} K_{\text{G}} 1/R_{ya\Sigma}}{T_{\text{K}} (T_{\text{U}} P + 1) (T_{ya} P + 1)},$$

bu yerda:

$R_{ya\Sigma}$  — elektrosvigatel yakor zanjirining qarshiliklar yig'indisi.

$T_{ya}$  va  $T_o$  — vaqt doimiyarini kichik kompensatsiya qilib bo'lmaydigan vaqt doimiyari deb qarash mumkin, ya'ni  $T'_\mu = T_o + T_{ya}$ , u holda tok rostlash konturining bevosita zanjirining uzatish funksiyasi quyidagicha yoziladi:

$$W_{\text{KT}}(P) = \frac{K_{\text{TR}} K_{\text{TQ}} K_{\text{G}} 1/R_{ya\Sigma}}{T_{\text{K}} (T'_\mu P + 1)} = \frac{1/K_{\text{OT}}}{T_{\text{OT}} P (T'_\mu P + 1)},$$

bu yerda:

$$T_{\text{OT}} = \frac{T_{\text{K}} R_{ya\Sigma}}{K_{\text{TP}} K_{\text{TQ}} K_{\text{G}} K_{\text{OT}}}$$

Bu sharoitda obyektning uzatish funksiyasi qulaylashgan shaklga ega bo'ladi va hisoblashdan asosiy maqsad tok bo'yicha teskari aloqaning qulay koeffitsiyentini aniqlashdir.

$$T_{\text{OT}} = \frac{T_{\text{K}} R_{ya\Sigma}}{K_{\text{TP}} K_{\text{TQ}} K_{\text{G}} K_{\text{OT}}}$$

Tok bo'yicha teskari aloqa signali generator va elektrosvigatelning qo'shimcha qutblaridan olinadi — bu o'zida tashkil etuvchi tok bo'yicha yumshoq teskari aloqasiga ega:  $K_{\text{OT}}(T_{\text{TR}} + 1)$ , bu yerda  $T_{\text{TR}}$  — teskari aloqa olinagan bosh zanjir bo'lagining vaqt doimisi.

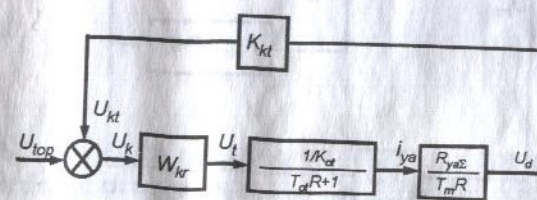
Bu hol uchun rostlash konturining struktura sxemasi 20-rasmida keltirilgan.

Yopiq rostlash konturining uzatish funksiyasi quyidagi ko'rinishga ega bo'ladi:

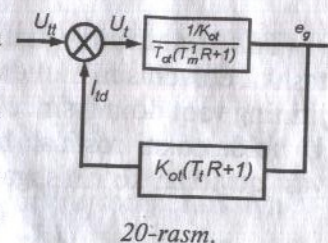
$$\Phi_{\text{T}}(P) = \frac{\frac{1/K_{\text{OT}}}{T_{\text{OT}} P (T'_\mu P + 1)}}{1 + \frac{1/K_{\text{OT}}}{T_{\text{OT}} P (T'_\mu P + 1)} K_{\text{OT}} (T_{\text{T}} P + 1)} = \\ = \frac{1/K_{\text{OT}}}{T_{\text{OT}} T'_\mu P^2 + (T_{\text{OT}} + T_{\text{T}}) P + 1}.$$

Xarakteristik polinom koeffitsiyentlarini tanlash natijasida tokni rostlash konturining o'tkinchi jarayonda berilgan sifatini olish mumkin.

Kuchlanishni rostlash konturi o'z tarkibida rostlash zvenolaridan biri sifatida qulaylashtirilgan tok konturiga egadir. Kuchlanish bo'yicha teskari aloqasi  $U_{KA}$  mavjud bo'lgan elektr yuritmaning struktura sxemasi 21-rasmida keltirilgan.



21-rasm.



20-rasm.

Tok konturining uzatish funksiyasini ikkinchi tartibli tashkil etuvchisini hamda tok bo'yicha teskari aloqa zanjirining vaqt doimiysini e'tiborga olmay soddalashtiramiz. U holda tokni rostlash berk konturining uzatish funksiysi quyidagi ko'rinishga ega bo'ladi:

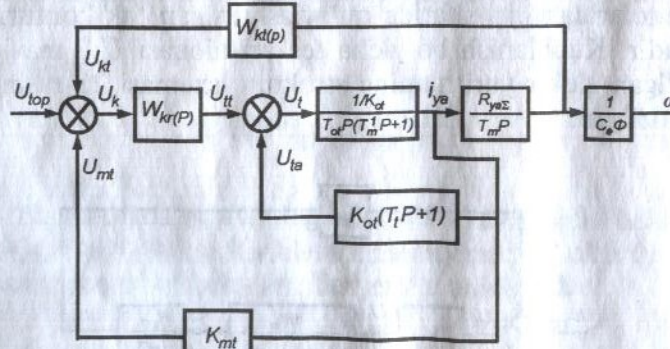
$$\Phi_T(P) = \frac{1/K_{OT}}{T_{OT}T'_\mu P^2 + (T_{OT} + T_T)P + 1} = \frac{1/K_{OT}}{T_{OT}P + 1} = \frac{1/K_{OT}}{m_{OPT}T'_\mu P + 1},$$

bu yerda:  $K_{OT}$  — tok bo'yicha teskari aloqaning uzatish koeffitsiyenti;  $T_{OT}$  — tok konturining vaqt doimiysi;  $m_{OPT} = T_{OT}/T'_\mu$ ;  $T'_\mu$  — tok konturining kompensatsiya qilinmaydigan kichik vaqt doimiysi.

Yuqorida qabul qilingan soddalashtirishlarni e'tiborga olingan holda elektr yuritmaning struktura sxemasi 22-rasmida keltirilgan. Kuchlanish rostlagichi quyidagi uzatish funksiya bilan ta'riflanadi:

$$W_{KR}(P) = \frac{K_{KR}}{(T_{KR}P + 1)},$$

bu yerda:  $T_{KR}$  — kuchlanish rostlsdichining vaqt doimiysi. Bu vaqt doimiysini kompensatsiya qilinmaydigan kuchlanish konturiga kirgizamiz:  $T'_\mu = T_{OT} + T_{KR}$ . Unda  $W_{KR}(P) = K_{KR}$  ga tengligini olamiz.



22-rasm.

Kuchlanishni rostlash obyektining uzatish funksiyasi:

$$W_{OKR}(P) = \frac{1/K_{OT}}{T_\mu'' P + 1} \cdot \frac{R_{ya\Sigma}}{T_M P},$$

bu yerda:

$T''_\mu$  — kuchlanish konturining kichik kompensatsiya qilinmaydigan vaqt doimiysi;

$T_M$  — elektrosvigatelning elektromexanikaviy vaqt doimiysi.

Kuchlanish, tok rostlagichi va elektrosvigateli o'z ichiga oladigan kuchlanishni rostlash konturi bevosita zanjirining uzatish funksiyasi quyidagicha yoziladi:

$$W_{KK}(P) = \frac{K_{KR} \cdot 1/K_{OT} R_{ya\Sigma}}{T_M P(T'_\mu P + 1)} = \frac{1/K_{KT}}{T_{KT} P(T'_\mu P + 1)},$$

bu yerda kuchlanish konturining vaqt doimiysi:

$$T_{KT} = T_M K_{OT} / K_{KT} K_{KR} R_{ya\Sigma};$$

$K_{KT}$  — kuchlanish bo'yicha teskari aloqaning uzatish koeffitsiyenti.

Kuchlanishni rostlash berk konturining uzatish funkisiysi:

$$\begin{aligned} \Phi_H(P) &= \frac{\frac{1/K_{KT}}{T_{KT} P(T'_\mu P + 1)}}{1 + \frac{1/K_{KT}}{T_{KT} P(T'_\mu P + 1)} K_{KT}} = \frac{1/K_{KT}}{T_{KT} P(T'_\mu P + 1)} \times \\ &\times \frac{T_{KT} P(T'_\mu P + 1)}{T_{KT} P(T'_\mu P + 1) + 1} = \frac{1/K_{KT}}{m' T'_\mu P(T'_\mu P + 1) + 1}. \end{aligned}$$

bu yerda:

$$m' = \frac{T_{KT}}{T'_\mu}.$$

Vaqt doimiylarining optimal nisbatlarini tanlab, rostlash tizimining berilgan sifat ko'rsatkichlarini olish mumkin.

## **12. Katta quvvatli ekskavatorning boshqarish tizimida sozlashni tanlash**

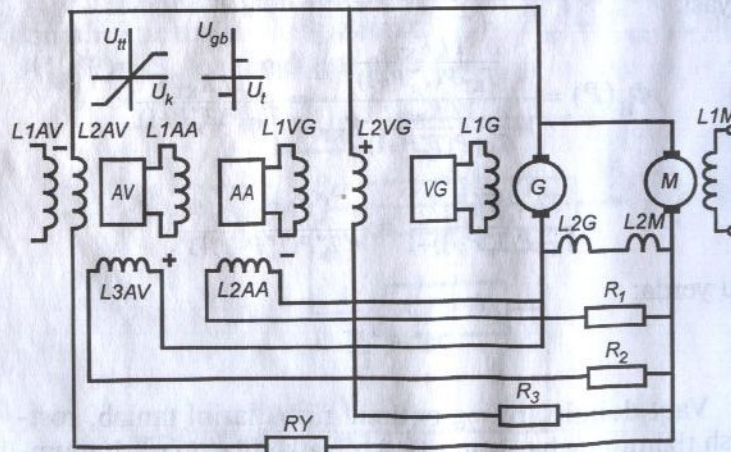
ЭКИ-12,5 (23-рasm) markali ekskavatorning buruvchi mexanizmi elektr yuritmasining generator-dvigatel (G-D) tizimida generatordan qo‘zg‘atish chulg‘amini boshqarish tiristorli o‘zgartgich *VG* orqali bajariladi.

Tok *AA* va kuchlanish *AV* rostlagichlari bo'y sunuvchi rostlanuvchan sxema asosida ulangan.

Generator  $G$  ning elektromexanik xususiyati 24-rasmida ko'rsatilgan, inersion zvenoning uzatish funksiyasi kabi bayon qilinadi.

Tok rostplash konturining ta'sirini ta'minlash uchun sxemada kritik parametri (*L2VG*) chulg'am generator kuchlanishiga teskari bo'lgan musbat aloqadan foydalaniladi. Musbat teskari aloqa bilan qurshalgan zanjirning ichki qismining uzatish funksiyasi quyidagi ko'rinishda bo'ladi:

$$W_{\text{TO}\cdot\text{G}}(P) = \frac{e_G(P)}{U_{\text{TO}} T_{\text{G}}(P)} = \frac{K_{\text{TO}} \cdot K_{\text{G}}}{(T_{\text{TO}} P + 1)(T_{\text{G}} P + 1) - K_{\text{TO}} K_{\text{G}} K_{\text{TO}} K_{\text{A}}},$$



23-rasm.

58

bu yerda:  $K_{TO}$ ,  $K_G$ ,  $K_{TO'KA}$  — tiristorli o'zgartgichning, generator va tiristorli o'zgartgichning kuchlanish bo'yicha teskari aloqa chulg'amining uzatish koefitsiyentlari;  $T_{TO'}$ ,  $T_K$  — tiristorli o'zgartgichning va generatordaning qo'zg'atish chulg'amining vaqt doimiylari.

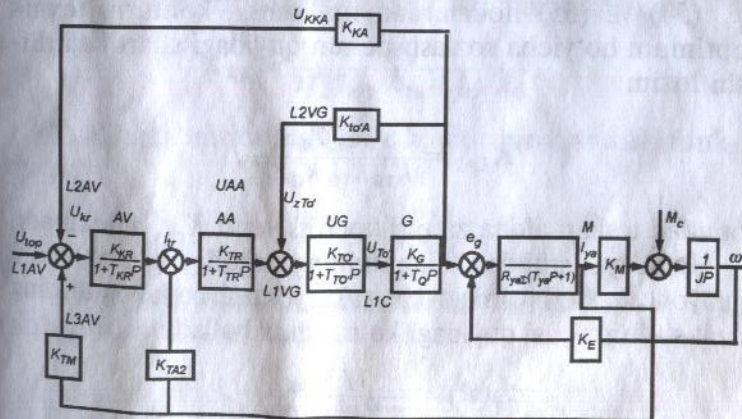
Kuchlanish bo'yicha teskari aloqaning kritik koefitsiyenti  $K_{TO,KA} = 1/K_{TO} - K_G$  va  $T_{TO}/T_K \approx 0$  deb qarasak, quyidagini olamiz:

$$W_{\text{TO}\cdot\text{G}}(P) = \frac{e_{\text{G}}(P)}{U_{\text{TOP}} T_{\text{O}\cdot}(P)} = \frac{K_{\text{TO}\cdot} \cdot K_{\text{G}}}{T_k P(T_{\text{TO}\cdot} P + 1)}. \quad (53)$$

(53) ifodadan kritik o'z-o'zidan qo'zg'atishli gener-toring uzatish funksiyasi integral zvenoning uzatish funk-siyasiga mos kelishi ko'rindi:

$$W_G(P) = \frac{e_G(P)}{U_{TO}(P)} = \frac{K_G}{T_K P}.$$

Tormozlangan rejimda ( $\omega_g = 0$ ) elektrosvigatelning elektr yurituvchi kuchi bo'yicha teskari manfiy aloqa ishlamaydi va kuchlanish rostlagichi  $AV$  to'inish zonasida bo'ladi. Uning chiqishidagi signal doimiy bo'ladi. Bu rejim-



24-rasm

59

da faqat tok bo'yicha manfiy teskari aloqa ishlaydi va o'tkinchi rejimda tokning egri chizig'ini aniqlaydi. Tokning rostlash konturiga  $AA$  tok rostlagichi, tiristorli o'zgartgich  $VG$ , generatorning yakor zanjiri va teskari aloqa kiradi.

Ochiq tok konturining uzatish funksiyasi quyidagi ko'rinishga ega:

$$W_T(P) = \frac{K_{TR}}{(T_{TR}P+1)} \cdot \frac{K_{TO^*}}{(T_{TO^*}P+1)} \cdot \frac{K_G}{T_G P} \cdot \frac{K_{TA2}}{R_{ya\Sigma}(T_{ya}P+1)}.$$

$T_{ya}$ ,  $T_{TO^*}$ ,  $T_{TR}$  o'zgarmas vaqtlar kichik o'zgarmas vaqt doimiysiga kiradi, ya'ni

$$T'_\mu = T_{ya} + T_{TO^*} + T_{TR} \ll T_R,$$

unda

$$W_T(P) = \frac{K_{TR} K_{TO^*} K_G K_{TA2}}{R_{ya\Sigma} T_K P (T'_\mu P + 1)}. \quad (54)$$

Texnik optimum, tok rostlagichi konturining sozlash kriterysi bo'ladi. Bunda ochiq konturning uzatish funksiyasi quyidagi shartni qoniqtirishi lozim:

$$W(P) = \frac{1}{2T'_\mu P (T'_\mu P + 1)}. \quad (55)$$

(54) va (55) ifodalardan ma'lumki, konturni texnik optimum bo'yicha sozlash uchun quyidagi shart bajarilishi lozim:

$$K_{TA2} = \frac{R_{ya\Sigma} T_K}{K_{TR} K_{TO^*} K_G 2T'_\mu},$$

bundan teskari aloqa zanjiri koeffitsiyenti  $K_{TA2}$  aniqlanadi.

Bunday sharoitda tok konturining tezkorligini va o'tkinchi jarayon xarakterini aniqlovchi, tokni rostlash berk konturining uzatish funksiyasi quyidagi ko'rinishda bo'ladi:

$$\Phi_T(P) = \frac{1/K_{TA2}}{2T'^2_\mu P^2 + 2T'_\mu P + 1}.$$

$AV$  rostlagichi to'yinmagan rejimda ishlaganda musbat va manfiy teskari aloqalar ta'sirini kompensatsiyalash lozim, bu quyidagi shartda bajariladi:

$$K_{TA2} = K_{TA1} \cdot K_{KR},$$

$$K_{TA1} = K_{TA2} / K_{KR}.$$

Xarakteristikaning ishchi qismida, elektrosvigatelning yakor toki keskin uzilish tokidan kichik bo'lganda tok bo'yicha teskari aloqalarning ta'siri kompensatsiyalangan deb hisoblash mumkin va faqat kuchlanish bo'yicha teskari aloqa ta'sirini e'tiborga olish mumkin.

Kuchlanishning ochiq konturi uzatish funksiyasi

$$W_H(P) = \frac{V_{K,KA}(P)}{U_{KR}(P)} = \frac{K_{KR} \cdot K_{TR} \cdot K_{TO^*} \cdot K_G \cdot K_{KK}}{(T_{KR}P+1)(T_{TR}P+1)(T_{TO^*}P+1)T_K P}, \quad (56)$$

quyidagi sharoitda:

$$T''_\mu = T_{TR} + T_{TO^*} + T_{TO^*}$$

U holda (56) ifodani quyidagi ko'rinishda yozamiz;

$$W_H(P) = \frac{U_{K,KA}(P)}{U_{KR}(P)} = \frac{K_{KR} \cdot K_{TR} \cdot K_{TO^*} \cdot K_G \cdot K_{KK}}{(T''_\mu P+1)T_R P}. \quad (57)$$

Texnik optimum kriteriysiga ko'ra kuchlanish bo'yicha teskari aloqa koeffitsiyentini quyidagicha aniqlanadi:

$$K_{KA} = \frac{T_K}{2T''_\mu K_{KR} \cdot K_{TR} \cdot K_{TO^*} \cdot K_G}.$$

Kuchlanishni rostlash berk konturining uzatish funksiyasi:

$$\Phi_H(P) = \frac{1/K_{KA}}{2T'^2_\mu P^2 + 2T''_\mu P + 1}.$$

(58) formula konturni texnik optimumga sozlashga loyiqligini ko'rsatadi.

## ADABIYOTLAR

1. Дранников В. Г., Звягин И. Е. Автоматизированный электропривод подъемно-транспортных машин. М., «Высшая школа», 1973.
2. Ключев В. И., Терехов В. М. Электропривод и автоматизация общепромышленных механизмов. М., «Энергия», 1980.
3. Ключев В. И. Теория электропривода. М., «Энергоатомиздат», 1985.
4. Справочник по автоматизированному электроприводу под ред. В. А. Елисеева, А. В. Шиняского. М., «Энергоатомиздат», 1983.
5. В. А. Елисеев. Непрерывное управление движением электроприводов. М., МЭИ, 1982.

## MUNDARIJA

Kirish .....	3
<i>I bo'lim.</i>	
Umum qo'llaniladigan yuk ko'taruvchi mexanizmlarning elektromexanikaviy tizimlari .....	4
1. Umumiy holat .....	4
2. $M_c = 0$ bo'lganda kranning yuqori chastotali elektromexanikaviy o'tkinchi rejimlari .....	6
3. $M_c \neq 0$ bo'lganda va elektrosvigatelni dastlabki pog'onada ishga tushirishda kranning yuqori chastotali elektromexanikaviy tizimida o'tkinchi rejimlar .....	10
4. $M_c \neq 0$ va yuritmani dastlabki pog'onasiz ishga tushirishda kranning yuqori chastotali elektromexanikaviy tizimidagi o'tkinchi rejimlar .....	13
5. $M_c = 0$ bo'lganda kranning past chastotali elektromexanikaviy tizimining o'tkinchi jarayonlari....	16
6. $M_c \neq 0$ kranning past chastotali elektromexanikaviy tizimining o'tkinchi rejimi .....	21
7. Kran mexanizmlarining elektromexanikaviy tizimlarida o'tkinchi rejimlarni tahlil qilish .....	26
8. Kranlarni gorizontal yo'nalishda harakatlantiruvchi mexanizmlarni ishga tushirish va to'xtatishda yuklarning tebranishi .....	28
9. Yukning tebranish ta'siri va bo'g'inlarning elastiklik xususiyatini hisobga olgan holda ko'chma mexanizmlarni ishga tushirish va to'xtatish .....	31
II bo'lim. Liftlarning elektromexanikaviy tizimlari .....	37
III bo'lim. Ekskavatorlarning elektromexanikaviy tizimlari .....	43
10. Mexanizmlarning elastik tizimlarini hisoblash sxemalarini soddalashtirish .....	43
11. Ekskavatorlarning bo'ysunuvchi rostlanuvchan tizimlarda sozlashning turlarini tanlash .....	45
12. Katta quvvatli ekskavatorning boshqarish tizimida sozlashni tanlash .....	58
Adabiyyotlar .....	62

2103-62

*To 'lqin Jo 'rayevich Ortigov*

**SANOAT QURILMALARINING  
ELEKTROMEXANIK TIZIMLARI**

«Turon-Iqbol» nashriyoti, 2005.

Muharrir	<i>H. Alimova</i>
Badiiy muharrir	<i>J. Gurova</i>
Texnik muharrir	<i>T. Smirnova</i>
Musahhih	<i>S. Abdunabiyeva</i>
Kompyuterda tayyorlovchi	<i>A. Yuldasheva</i>

Bosishga y. da ruxsat etildi. Bichimi  $84 \times 84^{\frac{1}{32}}$ .  
«Tayms» garniturada ofset bosma usulida bosildi. Sharflı b. t. 3,36.  
Nashr. t. 3,2. Adadi 500. 184-raqamli buyurtma.

«ARNAPRINT» MCHJ da sahifalanib, chop etildi.  
Toshkent, H. Boyqaro ko'chasi, 41.